

# **Simulation av Gulliver**

**En virtuell robotmiljö för skalade autonoma fordon**

Kandidatarbete inom Data- och Informationsteknik

Sebastian Dädeby

Adam Eriksson

Pontus Khosravi

Kristian Onsjö

Klas Sandell

The Author grants to Chalmers University of Technology and University of Gothenburg the non-exclusive right to publish the Work electronically and in a non-commercial purpose make it accessible on the Internet. The Author warrants that he/she is the author to the Work, and warrants that the Work does not contain text, pictures or other material that violates copyright law.

The Author shall, when transferring the rights of the Work to a third party (for example a publisher or a company), acknowledge the third party about this agreement. If the Author has signed a copyright agreement with a third party regarding the Work, the Author warrants hereby that he/she has obtained any necessary permission from this third party to let Chalmers University of Technology and University of Gothenburg store the Work electronically and make it accessible on the Internet.

En virtuell robotmiljö för skalade autonoma fordon

S. Dädeby  
A. Eriksson  
P. Khosravi  
K. Onsjö  
K. Sandell

© S. Dädeby, June 2015  
© A. Eriksson, June 2015  
© P. Khosravi, June 2015  
© K. Onsjö, June 2015  
© K. Sandell, June 2015

Examiner: Arne Linde

Chalmers University of Technology  
University of Gothenburg  
Department of Computer Science and Engineering  
SE-412 96 Göteborg  
Sweden  
Telephone + 46 (0)31-772 1000

Bilden på framsidan visar den virtuella modellen av Gulliver-bilen som tagits fram som del av projektet. Mer information finns på kapitel 5.2.

Department of Computer Science and Engineering  
Göteborg, Sweden June 2015

# Abstract

Autonomous cars are the next step in the transportation sector in the hopes of reducing the environmental impact and increase safety, but they are expensive to develop and test. In order to facilitate the development and reduce test costs, a virtual test environment has been developed and tested via implementation of an autonomous steering function.

In order to develop this virtual environment the simulation tool V-REP and the framework ROS were used, since both of these tools are developed for robot development. What has been developed is a virtual test environment as well as an interface for communication between simulation and framework.

The result of this project is a virtual test environment where filters and steering algorithms can be calibrated and tested for usage in a physical environment, as well as support for the possibility of basic network communication between multiple cars.

The virtual environment works well for testing the model. Simulator and framework have reached a functional level, but small errors occur which may demand further development to compensate for.

# Sammanfattning

Autonoma bilar är nästa steg inom transport och fordonssektorn för att möjliggöra minskning av miljöpåverkan och öka säkerheten, men dessa är dyra att utveckla och testa. För att underlätta utvecklingen och reducera testkostnader har därför en virtuell testmiljö utvecklats och testats via implementation av en autonom styrfunktion.

För utveckling av den virtuella modellen användes simulationsverktyget V-REP samt ramverket ROS då båda dessa verktyg är utvecklade för robotutveckling. Det som utvecklats är en virtuell testmiljö samt ett gränssnitt för kommunikation mellan simulator och ramverk.

Detta projekt resulterade i en virtuell modell där filter och styralgoritmer kan kalibreras och testas för bruk i en fysisk miljö, samt stöd för möjligheter till grundläggande nätverkskommunikation mellan flera bilar.

Den virtuella miljön lämpar sig bra för att testa den önskade modellen. Simulator och ramverk har uppnått en funktionell nivå, men små fel uppstår som kan kräva vidareutveckling för att kompenseras för.

Nyckelord: autonom, bil, Gulliver, ROS, simulation, självkörande, testmiljö, testplattform, virtuell, V-REP

# Förord

Ett stort tack till Elad Schiller och Thomas Petig för den expertis som de har bidragit med, både i genomförandet av projektet samt skrivning av rapporten. Vi vill också tacka Viktor Nilsson och Herman Fransson för den autonoma styrfunktion som har legat till grund för det som har byggts och implementerats i projektet. Även ett stort tack till Claes Ohlsson från Fackspråk för hans handledning med rapporten.

# Förkortningslista/ordlista

Ankare	En statiskt placerad RCM.
Autonomt	Självstyrande.
Child script	Ett mindre program som utför en funktion i V-REP.
Färdriktning	Vinkel på bilen relativt referenskoordinatsystemet.
Gulliver-bilen	Den fysiska bilen.
Gulliver-modellen	Den modellerade bilen.
IMU	Inertial Measurement Unit.
Joystick	En standard XBOX-kontroll.
Level-of-Service	Kvalitet på nätverkskommunikation.
Meddelande	Strukturen för data som skickas.
Motorregulator	Reglerar hastighet och styrvinkel på bilen.
Noder	Tar emot, behandlar och skickar data i ROS.
RCM	Ranging and Communication Module.
ROS	Ramverk för robothantering
ROS-paket	Programstruktur, innehåller noder.
Publisher	Publicerar (skickar) data, del av noder.
Statisk karta	En vägbeskrivning för den autonoma styrfunktionen.
Styrvinkel	Vinkel på bilens hjul.
Subscriber	Prenumererar på (tar emot) data, del av noder.
Topic	Kanalen som data skickas över.
V-REP	Virtual Robot Experimentation Platform.

# Innehåll

<b>1 Inledning</b>	<b>1</b>
1.1 Bakgrund . . . . .	1
1.2 Syfte . . . . .	1
1.3 Problemformulering . . . . .	2
1.3.1 Den virtuella simulationsmiljön . . . . .	2
1.3.2 Mjukvara för autonomt styrsystem . . . . .	2
1.4 Relaterade arbeten . . . . .	3
1.5 Metodöversikt . . . . .	3
1.6 Avgränsningar . . . . .	4
<b>2 Teori</b>	<b>5</b>
2.1 PID-regulator . . . . .	5
2.2 Kalmanfilter . . . . .	6
2.3 Cykelmodell . . . . .	6
2.4 Trilateration . . . . .	7
<b>3 Tekniska förutsättningar</b>	<b>9</b>
3.1 Robot Operating System . . . . .	9
3.2 Fysiska komponenter på Gulliver-bilen . . . . .	10
3.2.1 Ranging and Communication Module (RCM) . . . . .	10
3.2.2 Inertial Measurement Unit (IMU) . . . . .	10
3.2.3 Ultraljudssensor . . . . .	11
3.3 Paket från tidigare arbeten . . . . .	11
3.3.1 <code>estimate_position</code> . . . . .	11
3.3.2 <code>autopilot</code> . . . . .	11
3.4 Virtual Robotics Experimentation Platform . . . . .	11
<b>4 Metod</b>	<b>13</b>
4.1 Mjukvaruarkitektur . . . . .	13
4.1.1 Földj mjukvaruarkitektur . . . . .	13
4.2 Positionsuppskattning . . . . .	15
4.3 Vägplanering . . . . .	15
4.4 Kollisionsundvikning . . . . .	16
4.5 Konvojer och kommunikationssystem . . . . .	16
4.6 Virtuella modellen . . . . .	16
4.6.1 Modellering av Gulliver-bilen . . . . .	16
4.6.2 Miljön . . . . .	19
4.6.3 Child scripts . . . . .	19
4.6.4 Motorregulator . . . . .	20
4.6.5 IMU . . . . .	20
4.6.6 RCM . . . . .	20
4.6.7 Ultraljudssensorer . . . . .	21
4.6.8 Kommunikation med ROS . . . . .	21
4.7 Dataloggning . . . . .	21

4.8	Joystick . . . . .	21
4.9	Tester . . . . .	21
4.9.1	Testning av mjukvaruarkitekturen . . . . .	21
4.9.2	Simulation . . . . .	22
4.9.3	Vägplanering . . . . .	22
4.9.4	Positionsestimation . . . . .	23
4.9.5	Systembelastning . . . . .	23
<b>5</b>	<b>Resultat</b>	<b>24</b>
5.1	Mjukvaruarkitekturen . . . . .	24
5.1.1	Uppnådd mjukvaruarkitektur efter test . . . . .	24
5.2	Modellering . . . . .	25
5.2.1	Bilen . . . . .	25
5.2.2	Miljön . . . . .	26
5.3	Loggar . . . . .	27
5.3.1	V-REP . . . . .	27
5.3.2	ROS . . . . .	28
5.4	Tester . . . . .	28
5.4.1	Vägplaneraren . . . . .	28
5.4.2	Positionsuppskattning . . . . .	29
5.4.3	Sensorer och motorkontrollern . . . . .	30
5.4.4	Systembelastning . . . . .	33
<b>6</b>	<b>Diskussion</b>	<b>35</b>
6.1	Mjukvaruarkitekturen . . . . .	35
6.2	Positionsuppskattning samt vägplaneraren . . . . .	35
6.3	Prestanda . . . . .	36
6.4	Framtida utmaningar . . . . .	36
<b>7</b>	<b>Slutsats</b>	<b>37</b>
	<b>Referenser</b>	<b>39</b>

# 1 Inledning

Bilen i alla dess former och storlekar är ett av världens mest använda transportfordon. Miljoner bilar körs varje dag, bara i Sverige, och det ser likadant ut i större delen av världen. Då varje bil kräver en förare finns det ett stort intresse i att låta bilarna köra autonomt och på så sätt eliminera den mänskliga faktorn. Fördelarna med detta är enorma, inte bara en besparing i arbetskraft utan också en förhöjd säkerhet, potentiellt mindre miljöpåverkan samt på sikt besparing av utrymme i storstäder då autonoma bilar klarar av att köra på mindre ytor. Det följande avsnittet behandlar varför projektet är relevant, relaterade arbeten, projektets problembeskrivning och dess avgränsningar.

## 1.1 Bakgrund

Förutom miljöproblem bidrar bilar också till ett socialt och ekonomiskt problem. Enligt siffror från 2004 dör 1,2 miljoner människor varje år i trafikrelaterade olyckor och hela 20 till 50 miljoner människor blir skadade till följd av trafikolyckor. Dessa siffror har ökat och förväntas fortsätta öka drastiskt de kommande åren. Idag står trafikrelaterade olyckor för ungefär 2,1 procent av alla dödsfall i världen. Detta gör trafikrelaterade olyckor till den elfte vanligaste dödsorsaken i världen. Dessutom kostar alla dessa trafikolyckor stora summor pengar för samhället, beroende på låg- eller höginkomstland, 1 respektive 2 procent av bruttonationalprodukten. [1]

För att kunna minska antalet olyckor måste man minimera problemet, vilket i de flesta sammanhang är människan. Därför bedrivs forskning kring självstyrande bilar, autonoma bilar, som kan fatta egna beslut och köra distanser automatiskt utan människans närvilo. Därigenom hoppas man kunna underlätta användandet av bilar och minska antalet trafikolyckor. [2] Förutom att undvika olyckor finns det också förhoppningar om att autonoma bilar ska underlätta trafiksituationen i många städer och förebygga trafikstockningar.

Genom koordinerad körning mellan fordon, med hjälp av ett trådlöst nätverk, kan man skapa konvojer och undvika onödiga stopp. Därigenom hoppas man kunna minska miljöpåverkan, minska olycksrisken och spara miljonbelopp varje år. [3]

Utveckling och testning av autonoma fordon är kostsamt och tar mycket tid. I syfte att underlätta utveckling startades projektet Gulliver på Institutionen för Data- och Informationsteknik på Chalmers. Gulliver är tänkt att fungera som en testplattform för autonoma system, där funktioner kan testas i stor skala med hjälp av billiga miniatyrfordon. Ett Gulliver-fordon kostar cirka 2000€, vilket är mycket billigare än ett fullskaligt testfordon som kan kosta så mycket som 100,000€. [4]

## 1.2 Syfte

Syftet med projektet är att underlätta utvecklingen av autonoma styrsystem genom att erbjuda en virtuell testmiljö där parametrar för filter och regulatorer kan testas och optimeras. Genom att använda en sådan testmiljö så kan man minska kostanderna associerade med detta.

## 1.3 Problemformulering

Problemet för detta projekt är uppdelat i två delar. Den första delen är att modellera den fysiska Gulliver-bilen virtuellt. Modellen skall vara realistisk och ha samma egenskaper som den verkliga Gulliver-bilen. Modellen skall också köra i en liknande inomhusmiljö för att förenkla övergången till en fysisk implementation.

Den andra delen är att skapa en passande mjukvaruarkitektur för implementation av ett redan utvecklat autonomt styrsystem. Denna mjukvaruarkitektur skall vara kompatibel med den fysiska Gulliver-bilen och den skapade Gulliver-modellen.

Följande avsnitt kommer att beskriva varje problem mer detaljerat.

### 1.3.1 Den virtuella simulationsmiljön

Den virtuella simulationsmiljön skapades helt från grunden. För att återskapa den fysiska miljön virtuellt behövs följande delar:

- En virtuell modell av den fysiska Gulliver-bilen.
- Vägbanor med vägpunkter för bilen att följa.
- Mätningar av bilens acceleration, färdriktning och svänggradie i tre dimensioner.
- En motorregulator.
- Mätningar av avstånd till närliggande bilar och hinder som finns i bilens färdriktning.
- Styrning med hjälp av joystick.
- Ankare för positionsmätning.
- Loggning av relevant data.

Bilen skall bete sig precis som Gulliver-bilen. Bilen kommer inledningsvis att styras med hjälp av en xbox-kontroller för test av modellens motorregulator, för att sedan implementera en autonom styrning.

### 1.3.2 Mjukvara för autonomt styrsystem

För att skapa en passande mjukvaruarkitektur behövs följande delar:

- Lagring av en statisk karta, kartan hämtas från den virtuella modellen.
- Integration av positionsuppskattning, bilen ska veta ungefär var den är på den statiska kartan.
- Integration av vägplanering, bilen planerar hur den ska ta sig från punkt A till punkt B.
- Kollisionsundvikning, avgöra om en bil är för nära ett hinder och bromsa om så är fallet.

- Förberedelse för framtida implementation av kommunikation mellan bilar.
- Kompatibelt gränssnitt mot den virtuella och fysiska modellen.
- Loggning av relevant data.

De listade punkterna ger en bra grund för ett autonomt system för utveckling och testning. Vissa av dessa delar är redan utvecklade av ett tidigare projekt och kommer användas, samt vid behov modifieras. Gränssnittet ska fungera både mot den virtuella miljön och den fysiska miljön. Modellen skall även ha möjligheten att kunna hantera flera bilar samtidigt i simulationen för att skapa konvojer.

För att flera bilar skall kunna köra tillsammans autonomt på ett effektivt sätt, räcker det inte bara med bilarnas lokala lösningar. Det krävs även att bilarna kommunicerar med varandra så att information kan skickas mellan dem, exempelvis för att minska bromstider och kunna anpassa sin rutt baserat på trafiksituationen.

## 1.4 Relaterade arbeten

Projektet bygger på ett tidigare arbete, skrivet av Herman Fransson och Viktor Nilsson, vars syfte var att implementera autonom styrning av Gulliver-bilen. Arbetet var en del av Gulliver-projektet. [5]

Parallelt med detta projekt utförs ett annat kandidatarbete [6], vars uppgift är att skapa en mjukvaruarkitektur för att simulera autonoma fordon som kommunicerar över valfritt nätverksprotokoll. Projektet förbereder integration för att få säker kommunikation mellan flera bilar, därför har det varit ett pågående samarbete mellan grupperna.

Ett annat relaterat arbete är Bridging Physical and Digital Traffic System Simulations with the Gulliver Test-Bed [7] som behandlar en länkning mellan en virtuell och en fysisk miljö för Gulliver-plattformen. Detta för att skapa en gemensam testmiljö där både fysiska och virtuella Gulliver-bilar ingår.

## 1.5 Metodöversikt

Projektet inleddes med en inlärningsfas där material och verktyg som fanns tillgängligt studerades. En stor del av denna fas var att förstå tidigare projekt och hur verktygen ska användas. Detta följdes av en implementationsfas där varje del av problembeskrivningen implementerades och testning utfördes i den mån möjligt vid brist av data från fysiska tester. Implementationsfasen delades upp i flera mindre etapper så att tidsplaneringen enklare kunde följas och för att underlätta testning. I denna fas fanns dock en hel del flexibilitet för att kunna åtgärda eventuella problem som uppstår. Implementationsfasen följdes av en test- och resultatfas där projektet testades och resultat avgavs för denna rapport. Genom hela projektet användes den agila arbetsmetoden scrumban [8].

## 1.6 Avgränsningar

Projektet avgränsas genom att den virtuella modellen endast innehåller två enklare statistiska kartor; en cirkel och en karta som ser ut som en åtta. Mjukvaruarkitekturen testas bara i den virtuella modellen. Komponenterna på Gulliver-bilen kommer inte utvärderas på något sätt. Dessutom kommer det autonoma styrsystemet endast testas på en instans av den virtuella modellen.

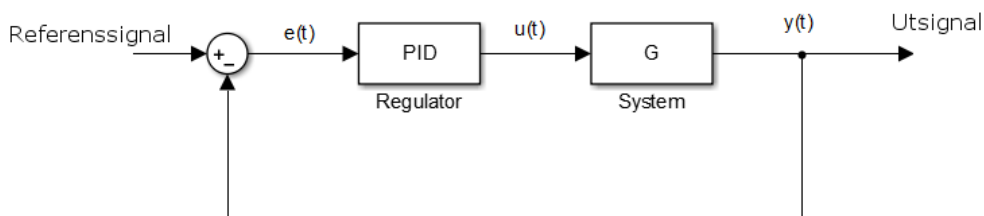
## 2 Teori

Detta kapitel förklarar de tekniker som används genom att beskriva grundläggande principer och ger även matematiskt stöd. Dessa delar är viktiga komponenter i mjukvaran för projektet.

### 2.1 PID-regulator

Det finns flera olika reglertekniker men de har alla samma uppgift, att styra systemet på önskat sätt genom att bestämma storleken på olika styrsignaler. Den vanligaste regulatorn är den så kallade PID-regulatorn (*proportionell, integrerande och deriverande*). Det är dock vanligt att man inte använder den deriverande delen då det är svårt att derivera med avseende på brusiga mätsignaler. [9]

En PID-regulator fungerar rent matematiskt enligt ekvation (1) men för att få en bättre förståelse används figur 1. Först beräknas reflefelet, som är referensignalen subtraherat utsignalen. Felet som uppstår regleras sedan i PID-regulatorn och skickas till systemet. Systemets utsignal är nu kompenserat för en del av felet beroende på vilken skalning som används. Detta system har också en återkoppling vilket leder till att processen itereras för varje ny utsignal.



**Figur 1:** Ett enkelt reglersystem med återkoppling. Lägg särskilt märke till var i reglersystemet regulatorn används.

$$u(t) = K_p e(t) + K_i \int_0^t e(\tau) d\tau + K_d \frac{d}{dt} e(t) \quad (1)$$

Där  $K_p e(t)$  är den proportionella delen,  $K_i \int_0^t e(\tau) d\tau$  är den integrerande delen och  $K_d \frac{d}{dt} e(t)$  är den deriverande delen av PID-regulatorn.  $K_p$ ,  $K_i$  och  $K_d$  är skalningskonstanter som sätts för att systemet ska bli så optimerat som möjligt. Det finns flera olika optimeringsmetoder, men ett sätt som enkelt tillämpas med en simulerad testmiljö är att testa sig fram till bästa värde. [9]

## 2.2 Kalmanfilter

Kalmanfilter används i stor utsträckning för robotnavigering och systemintegration. För att en robot ska kunna fungera autonomt måste den veta var den är. Exakt lokalisering är en viktig förutsättning för framgångsrik navigering i storskaliga miljöer, speciellt när globala modeller används, såsom kartor, ritningar, topologiska beskrivningar och CAD-modeller. [10]

Kalmanfiltret uppfanns på 1950-talet av Rudolf Emil Kalman och är en matematisk algoritm för att approximera tillståndet hos linjära system. Filtret är en typ av gaussfilter, en rekursiv tillståndsestimator. Algoritmen använder metoder från såväl reglerteknik som sannolikhetslära. Principen är att systemets momentantillstånd beskrivs som normalfördelningar, som representerar tilltron till modellens överensstämmelse med verkligheten. Större varians betyder större osäkerhet. Systemets tillstånd är alltså inte känt explicit, men kan approximeras till normalfördelningarnas väntevärden. Att styra ett system på detta sätt är användbart när systemet har många frihetsgrader och en inneboende slumpmässighet. När osäkerheter för det nuvarande tillståndet är kända kan de kompenseras för i styrningen av systemet och högre precision kan uppnås. [11]

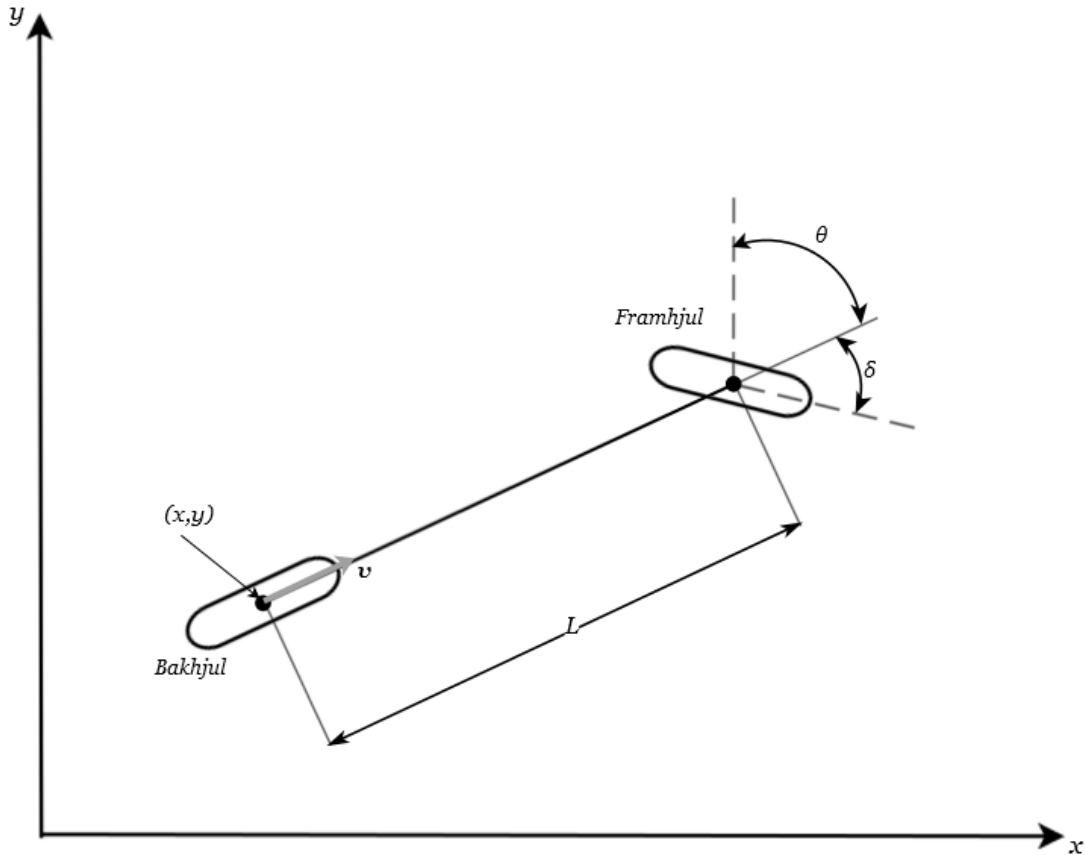
När momentantillståndet ska uppdateras i Kalmanfiltret används det tidigare momentantillståndet som insignal, tillsammans med ny data. Baserat på tidigare tillstånd, mätningar och kunskap om systemets egenskaper kan ett nytt momentantillstånd beräknas. [11]

Algoritmen kan också hantera osäkerheter, exempelvis brus hos sensorer eller dålig precision hos motorer, genom att de inkluderas i modellen, förutsatt att de är kända eller kan approximeras. [10], [11]

## 2.3 Cykelmodell

Ackermannstyrning är ett geometriskt arrangemang av kopplingar i styrningen av en bil eller annat fordon som syftar till att lösa problemet med att hjul på insidan och utsidan av en sväng behöver följa cirklar med olika radie. Cykelmodellen är en förenklad matematisk modell för att modellera ett bakhjulsdrivet fordon med ackermannstyrning. Modellen approximerar fordonet som en cykel med samma avstånd mellan fram- och bakhjul, placerad mitt i mellan hjulen. Det finns två olika typer av modellen, en dynamisk som används för att beräkna dynamiska krafter i systemet, och en kinematisk som används för att beräkna rörelser i systemet. Detta projekt använder en kinematisk modell. Figur 2 visar hur en kinematisk modell kan utformas. En tillståndsmodell för systemet ställs upp

enligt ekvation (2).  $\begin{bmatrix} x_{k+1} \\ y_{k+1} \\ \theta_{k+1} \end{bmatrix}$  är nästa momentanvärde.  $\Delta d$  är  $\int_k^{k+1} v$ . [12]



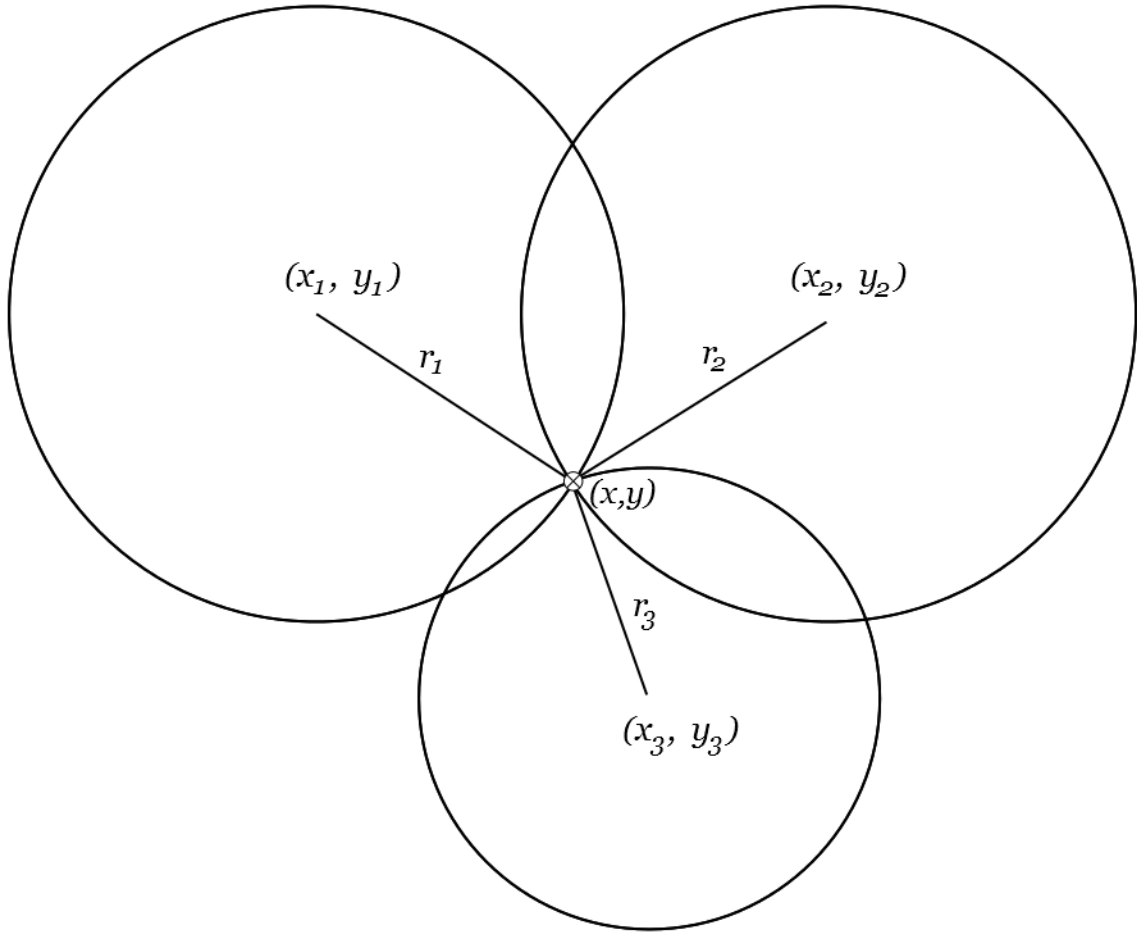
**Figur 2:** Cykelmodell med längd  $L$ , vinkel relativt  $y$ -axeln  $\theta$ , bakhjulets position  $(x,y)$  samt hastighet  $v$  i färdriktningen.

$$\begin{bmatrix} x_{k+1} \\ y_{k+1} \\ \theta_{k+1} \end{bmatrix} = \begin{bmatrix} x_k + \Delta d \cdot \sin(\theta_{k+1}) \\ y_k + \Delta d \cdot \cos(\theta_{k+1}) \\ \theta_k + \frac{\Delta d \cdot \tan(\delta)}{L} \end{bmatrix} \quad (2)$$

## 2.4 Trilateration

Trilateration är en metod för att bestämma absoluta eller relativa positioner med hjälp av de geometriska egenskaperna hos cirklar, sfärer och trianglar. Till skillnad från triangulering, som används för GPS, behöver inga vinklar mätas. På grund av de svåra beräkningar som måste göras har trilateration ofta avfärdats till fördel för triangulering. Modern teknik möjliggör dock en tillräckligt snabb och säker mätnings- och beräkningskapacitet för att kunna tillämpa metoden på mindre skala för experimentella tester. [13]

För positionsbestämning i två dimensioner kan en position beskrivas som skärningspunkten för tre cirklar med centrum på olika positioner, så som illustreras i figur 3. Genom att mäta avståndet till dessa positioner, och därmed även raden på cirklarna, kan den relativa positionen fastställas. Om centrumpunkterna för cirklarna har kända koordinater kan en absolut position fastställas genom ekvationssystem (4) som är en vidareutveckling av ekvationssystem (3). [13]



**Figur 3:** trilaterationsproblemet utgörs av att hitta positionen  $(x,y)$ , givet avståndet till de tre punkterna  $(x_1, y_1)$ ,  $(x_2, y_2)$  och  $(x_3, y_3)$ .

$$\begin{cases} (x - x_1)^2 + (y - y_1)^2 = r_1^2 \\ (x - x_2)^2 + (y - y_2)^2 = r_2^2 \\ (x - x_3)^2 + (y - y_3)^2 = r_3^2 \end{cases} \quad (3)$$

$$\begin{cases} (x - x_1)^2 + (y - y_1)^2 = r_1^2 \\ x(x_2 - x_1) + (y_2 - y_1) = \frac{r_1^2 - r_2^2 + a^2}{2} \\ x(x_3 - x_1) + (y_3 - y_1) = \frac{r_1^2 - r_3^2 + b^2}{2} \end{cases} \quad (4)$$

$$a = \sqrt{(x_1 - x_2)^2 + (y_1 - y_2)^2}, b = \sqrt{(x_1 - x_3)^2 + (y_1 - y_3)^2}$$

## 3 Tekniska förutsättningar

Följande avsnitt beskriver delvis de verktyg som används under projektet, samt de sensorer som finns på Gulliver-bilen och relevanta paket som fåtts från diskussion med H. Fransson och V. Nilsson [5].

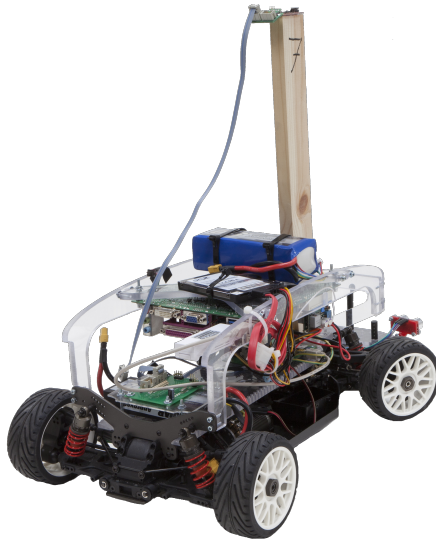
### 3.1 Robot Operating System

*Robot Operating System* (ROS) är ett ramverk för operativsystemet Ubuntu för att skriva och implementera mjukvara för robotar. Det är en samling verktyg, bibliotek och konventioner för att underlättा skapandet av komplexa och robusta beteendemönster hos robotar över en stor samling robotplattformar. Ramverket skapades på grund av svårigheter med att skriva robust och allmän robotmjukvara. Det som för en människa kan verka trivialt kan för en robot vara otroligt komplext och att implementera detta kan kräva resurser som en enskild forskningsgrupp inte kan bidra med. [14]

ROS skapades år 2007 som ett kollektivt samarbete mellan forskningsgrupper och privata utvecklare för att vidareutveckla robotprogramvara med gemensamma resurser och resultat. Initiativet har växt till att idag innehåller ett stor mängd paket som näst intill helt modulärt kan kombineras för att skräddarsy programvara. [14]

ROS-ramverket är uppbyggt av paket, som är en organisationsenhet. Syftet med paketstrukturen är att tillhandahålla lättillgänglig funktionalitet så att programvaran kan återanvändas. Ett paket kan innehålla exempelvis bibliotek, script eller ROS-noder, skrivna i programmeringsspråken C++ eller Python [15]. En ROS-nod är en process som utför beräkningar eller översätter meddelanden. Ett styrsystem består ofta av ett flertal noder som tillsammans styr roboten [16].

Noder kommunicerar med varandra med meddelanden, en enkel datastruktur bestående av typade fält. En nod kan bara ta emot ett meddelande av en fördefinierad typ, och bidrar därmed till ökad kommunikationssäkerhet. Meddelanden skickas mellan noder över namngivna kommunikationsbussar kallade *topics* [17]. En nod bryr sig normalt sett inte om vilken annan nod den kommunicerar med, istället prenumererar (*subscribe*) en nod på en topic som skickar önskad meddelandetyp. Noder som tillhandahåller denna meddelandetyp publicerar (*publish*) meddelanden till dessa topic. Det finns ingen gräns för hur många publishers eller subscribers en topic kan ha. Om det är viktigt att två noder kommunicerar direkt med varandra, exempelvis när en process ska anropas hos en annan nod, används *services*. En service fungerar som en funktion med inparametrar som returnerar ett värde baserat på inparametrarna. [18]



Figur 4: Gulliver-bilen

## 3.2 Fysiska komponenter på Gulliver-bilen

Gulliver-bilen är en miniatyrbil framtagen i Gulliverprojektet. Den fungerar som modulär testplattform för framtagning av autonoma styrsystem. Ombord på bilen finns en dator som kan köra styrsystemet, och sensorer för att känna av omgivningen. Figur 4 visar hur bilen ser ut. Underkapitlet beskriver de komponenter på den fysiska Gulliver-bilen som modellerats i projektet.

### 3.2.1 Ranging and Communication Module (RCM)

På Gulliver-bilen finns en enhet för de mätningar som krävs för att kunna utföra trilateration. Enheten är en *Ranging and Communication Module* (RCM) av modell PulsON 410 från Time Domain [5]. En RCM-enhet kan kommunicera med andra RCM enheter genom radiofrekvens-teknik och används med fördel i högreflektiva miljöer där GPS har problem, exempelvis inomhus. Enheterna används främst för att mäta avstånd, men kan också användas för enklare kommunikation [19], något som inte utnyttjas i denna tillämpning. Genom att positionera tre sändare med sina relativt positioner kända skapas ett lokalt trilaterationssystem för den fjärde sändaren som finns monterad på Gulliver-bilen [5].

### 3.2.2 Inertial Measurement Unit (IMU)

På Gulliver-bilen finns en enhet för att mäta fysiska krafter, en *Inertial Measurement Unit* (IMU) [5]. IMU:n består av två skilda enheter, en accelerationsmätare och ett gyroskop, men brukar betraktas som ett mätinstrument. Accelerationsmätaren består av tre linjära accelerometrar som mäter acceleration längs axlarna i ett kartesiskt koordinatsystem, samt tre magnetfältsensorer längs samma axlar. Med magnetfältsensorerna kan IMU:n

mäta jordens magnetfält och på så sätt användas som kompass. Gyroskopet kan mäta vinkelhastigheten för rotation kring koordinataxlarna, vilket gör det möjligt att med derivering och integration avgöra om enheten roterar eller lutar relativt ett referensplan. [20], [21]

#### 3.2.3 Ultraljudssensor

I fronten på Gulliver-bilen finns två ultraljudssensorer av typen SRF08 monterade [5]. Sensorerna används för att upptäcka hinder framför bilen och kan också mäta avstånd till objekt framför bilen. Detta görs genom att mäta tiden mellan att en puls skickas ut och att ekot kommer tillbaka från det reflekterande objektet. [22]

### 3.3 Paket från tidigare arbeten

I detta underkapitel beskrivs de viktigaste ROS-paketet som skapats av H. Fransson och V. Nilsson för Gulliver-bilen [5]. Endast de paket som används för autonom styrning beskrivs, de övriga paketen berör hårdvara och används enbart för att bestämma struktur på meddelanden som ska användas i mjukvaruarkitekturen.

#### 3.3.1 estimate\_position

Detta paket försöker uppskatta positionen på bilen genom att samla data från de tillgängliga sensorerna. Paketet hämtar data från bilens motorregulator och från IMU:n. Utifrån datan uppskattas en position med hjälp av cykelmodellen beskriven i kapitel 2.3. Denna position kombineras i ett Kalmanfilter med den position som RCM-systemet anger. Resultatet blir den slutgiltiga position som paketet tror att bilen har. Denna process upprepas varje gång det finns ny data att hämta från sensorerna. [5]

#### 3.3.2 autopilot

Paketet hämtar positionen från `estimate_position` efter varje uppdatering och jämför mot en vägpunkt. Om målet inte är nått justeras styrvinkeln och skickas till motorregulatorn. Justeringen av vinkeln beräknas som skillnaden mellan nuvarande färdriktning och vinkeln mellan bilens bakaxel och riktningen till målpositionen. Denna skillnad används av en PID-regulator för att beräkna och sätta en ny styrvinkel. [5]

### 3.4 Virtual Robotics Experimentation Platform

*Virtual Robotics Experimentation Platform* (V-REP) är ett grafiskt simulationsverktyg utvecklat av Coppelia Robotics och är verktyget som används för att utveckla den virtuella modellen. V-REP är plattformsoberoende och objekt läggs ihop till en enda fil, så kallade scener, vilket gör programmet flexibelt att arbeta med då filen inte behöver kompileras om för att kunna köra simulationen på andra datorer. Programmet är designat runt en mångsidig arkitektur, med flera relativt oberoende funktionaliteter som kan slås på eller av utefter behov. Detta gör det möjligt att genomföra tunga simulationer med relativt lågt prestandakrav, eftersom funktioner som inte används stängs av. [23]

V-REP har ett välutvecklat stöd för samarbete med ROS. Dessutom efterliknar V-REP även den fysiska verkligheten väl, vilket gör det till ett bra simulationsverktyg inför tester i verkligheten. [23]

## 4 Metod

Detta kapitel behandlar i detalj den metod som valdes under projektets gång för att lösa problemformuleringen och tekniska val förklaras samt motiveras. Tillvägagångssätt för testning av systemet tas också upp.

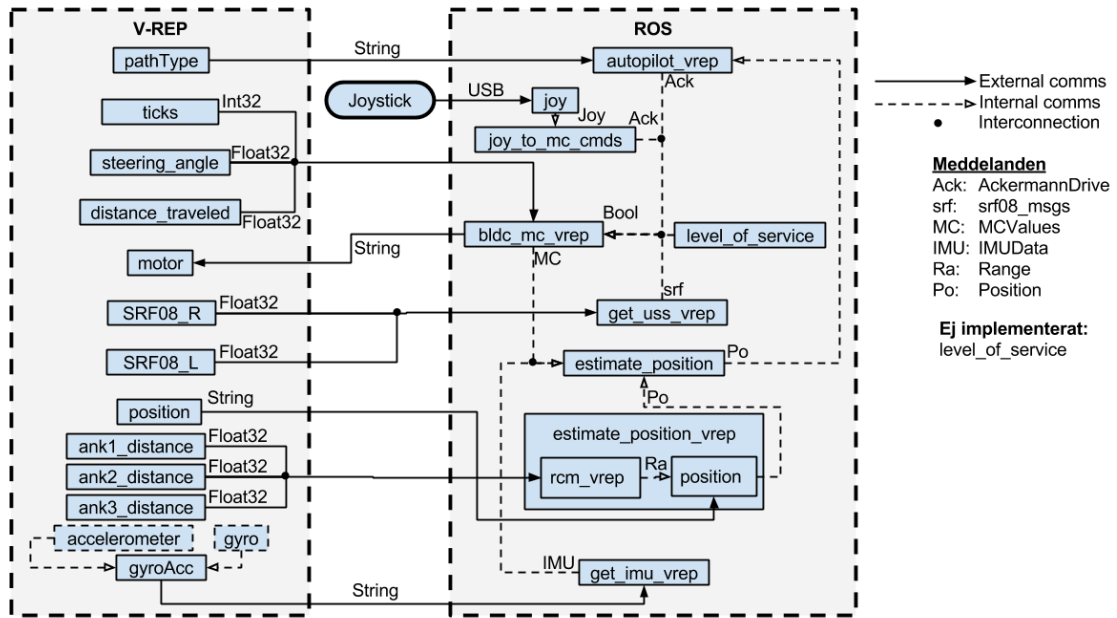
### 4.1 Mjukvaruarkitektur

En mjukvaruarkitektur beskriver hur alla delar beror på varandra och hur kommunikation sker mellan dessa. Ramverket ROS Indigo används för att skapa mjukvaruarkitekturen och körs på Ubuntu 14.04. Arkitekturen vidareutvecklas från den redan existerande arkitekturen för att behålla kompatibilitet med den fysiska modellen. ROS använder sig av en paketstruktur, som beskrivs i kapitel 3.1, vilket gör ramverket flexibelt och modulärt [24]. Kommunikationsstrukturen *kondenserad publisher/subscriber* används, vilket innebär att flera publisher och subscriber finns i en fil, och minskar antalet filer och noder som körs i ROS. Alla topics i arkitekturen utgör gränssnittet mellan ROS och den virtuella eller fysiska modellen.

#### 4.1.1 Föld mjukvaruarkitektur

Figur 5 visar hur automation- och simulationsdelen kommunicerar med varandra och vilket format datan har. Detta flödesschema var grunden som projektet utgick från när mjukvaruarkitekturen skulle byggas. Figuren visar vilka topics som startas i V-REP och vilka paket och noder som finns i ROS. Paket- och nodnamn är desamma i de flesta av paketen i ROS, med undantag för `estimate_position_vrep` där två noder startas. Utöver detta existerar också en fysisk joystick, denna symboliseras i flödesschemat som *Joystick*.

Detta projekt bygger på tidigare projekt och diskussion med H. Fransson och V. Nilsson [5] och därför byggdes mjukvaruarkitekturen runt de redan existerande paketen.



Figur 5: Flödsschema som beskriver önskad mjukvaruarkitektur

Pilarna i figur 5 beskriver kommunikation och namnet är meddelandetypen. Meddelanden från V-REP görs om till de angivna meddelandetyperna för att behålla kompatibiliteten med den fysiska modellen. Noderna, kommunikationen och de meddelandetyper som används i arkitekturen förklaras i kommande stycken. Vidare finns fullständig kod för paketen i Appendix A.

#### estimate\_position\_vrep

Noden `rcm_vrep` tar emot data från V-REP innehållandes avståndet från bilen till aktuellt ankare. Ett meddelande av typen `Range` skapas som innehåller denna data och även ankarets ID. Resterande fält, felestimering och tidstämpel, används inte. Meddelandet skickas sen till noden `Position`.

`Position`-noden använder tre `Range`-meddelanden, ett för varje ankare, för att beräkna bilens uppskattade position genom trilateration. Den beräknade positionen packas i ett meddelande av typen `Position` som innehåller x- och y-värde samt färdriktning och skickas sedan till `estimate_position`. `Position`-noden tar även emot bilens absoluta position som skickas i form av en packad sträng från V-REP. Noden packar upp strängen och får

x-, y- och z-värden för bilens absoluta position. Detta gör det möjligt att istället för att använda trilateration för positionsuppskattning direkt skicka bilens faktiska position till `estimate_position` och därmed undvika möjliga problem som kan uppstå genom beräkning av sensordata vilket underlättar tester av positionsestimeringen. Dessutom tillåter detta möjligheter för att jämföra bilens beräknade position mot bilens sanna position.

#### get\_imu\_vrep

Paketet tar emot en packad sträng från V-REP innehållandes x- och y-värde från accelerometern och z-värde från gyroskopet. Paketet packar upp strängen och skapar ett meddelande av typen `IMUData` och sätter respektive fält till värdet, resterande fält används inte. Meddelandet skickas sedan till `estimate_position`.

#### `estimate_position`

Paketet tar emot data från IMU:n, en position estimerad från trilateration och data från motorregulatorn. Paketet använder sedan ett Kalmanfilter för att beräkna en ny position som bör stämma bättre överens med den faktiska positionen. Den nya positionen skickas till `autopilot_vrep` i ett meddelande av typen `Position`.

#### `autopilot_vrep`

Detta är bilens navigationspaket. Paketet tar emot vilken karta som används från V-REP och kan därefter läsa in de aktuella vägpunkterna från en *csv*-fil. Paketet får även bilens uppskattade position från `estimate_position` och kan då avgöra vilken styrvinkel och hastighet bilen ska ha för att ta sig till nästa vägpunkt. Ett meddelande av typen `AckermannDrive` skapas innehållande styrvinkeln och hastigheten, resterande fält används inte. Meddelandet skickas sedan till `bldc_mc_vrep`.

#### `level_of_service`

Detta paket är inte implementerat. Paketet ska avgöra om nätverkskommunikationen har hög level of service. Paketet skickar ett meddelande av typen `bool` till `bldc_mc_vrep`. En bool har antingen värdet 1 eller 0, där 1 anger en hög level of service.

## 4.2 Positionsuppskattning

För att implementera ett sätt att uppskatta en position används det redan existerade ROS-paketet `estimate_position` som filtrerar och beräknar uppskattad position och skickar vidare detta till bilens vägplaneringsalgoritm [5] och finns beskrivet i 3.3.1.

## 4.3 Vägplanering

Om bilen skall köra autonomt och köra efter en specifik väg behövs en algoritm som kan styra bilen genom att data skickas från algoritmen och sensordata fås från positionsbestämningen. Det ROS-paket som innehåller vägplaneringen fås från [5]. Paketet heter `autopilot` och beskrivs i kapitel 3.3.2. Detta paket modifieras sedan för projektets användningsområde då `autopilot`:s statiska karta inte sammanfaller med projektets testbanor. En statisk karta är en serie koordinater som inte uppdateras med nya värden. Genom att tillåta en automatisk import av statiska kartor från exporterade koordinatsystem i V-REP möjliggörs skapandet av vilken statisk karta som helst bara kartan är modellerad i V-REP och stöd anges för den i paketet. På grund av denna modifikation skapas ett nytt paket som kallas `autopilot_vrep` som tillåter flera testkartor och enkelt kan utvecklas vidare för att inkludera ytterligare kartor.

## 4.4 Kollisionsundvikning

Den kollisionsundvikning som används är väldigt simpel och bygger på diskussion med H. Fransson och V. Nilsson [5]. Om ultraljudssensorerna upptäcker ett hinder kommer en signal skickas till motorregulatorn som sätter önskad hastighet till noll och bilen kommer då bromsa tills den står still. Kollisionsundvikningen har högsta prioritet vilket gör att andra system, som till exempel autopiloten, stängs av.

## 4.5 Konvojer och kommunikationssystem

Konvojkörning möjliggörs genom att läsa data från ultraljudssensorerna på bilen. Genom en adaptiv farthållning håller bilarna ett långsamt oscillerande avstånd från varandra. Denna oscillation går att, genom mer komplexa styralgoritmer och filtrering av data, minimeras för att uppnå ett konstant jämnt avstånd mellan bilarna.

Då konvojer innefattar flera bilar krävs även en metod för att på ett så dynamiskt sätt som möjligt möjliggöra för att lägga till önskat antal bilar i en simulation. Detta uppnås genom att använda *namespaces* i ROS, vilket är en isolerad miljö inuti ROS där noder och topics kan startas utan konflikt med noder och topics som ligger utanför namespace. Genom detta går det att starta isolerade instanser av varje bil som kan kommunicera med V-REP ostört av andra instanser av samma noder. Dessvärre så fungerar detta endast om varje instans av bilden använder unika topics i V-REP, till vilket programmet inte erbjuder någon dynamisk lösning.

Konvojkörning optimeras via implementation av systemet från [6] och namespaces i ROS. Systemet anger om det är hög eller låg *level of service*.

Level of service anger kvaliteten på nätverkskommunikationen. Algoritmen som beskrivs i [25] kan användas för att bestämma level of service. Denna information kan sedan användas för att köra bilarna på olika sätt. Exempelvis kan bilarna via nätverkskommunikation få information om resterande bilar, som kan inkludera position och hastighet. Alla bilar bestämmer sedan en säker rutt för de olika graderna av level of service. [26]

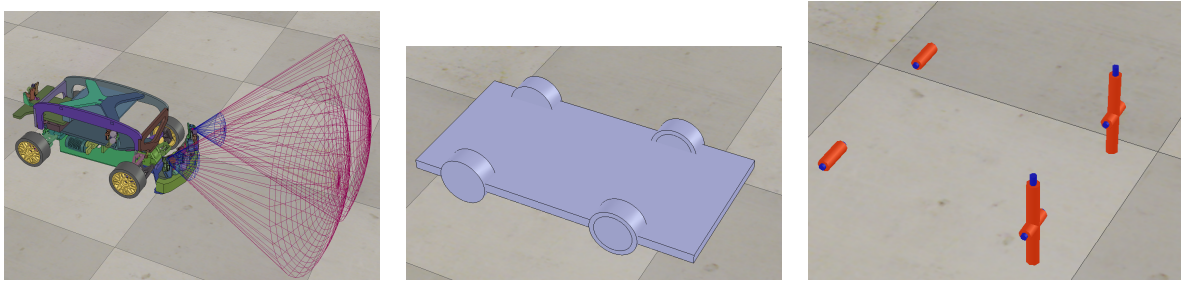
## 4.6 Virtuella modellen

Det program som används för att modellera Gulliver-bilen och miljöerna är V-REP, som beskrivs i avsnitt 3.4, och den aktuella versionen som används är 3.2.1. Kapitlet tar även upp hur Gulliver-bilens olika komponenter integreras samt hur script används.

### 4.6.1 Modellering av Gulliver-bilen

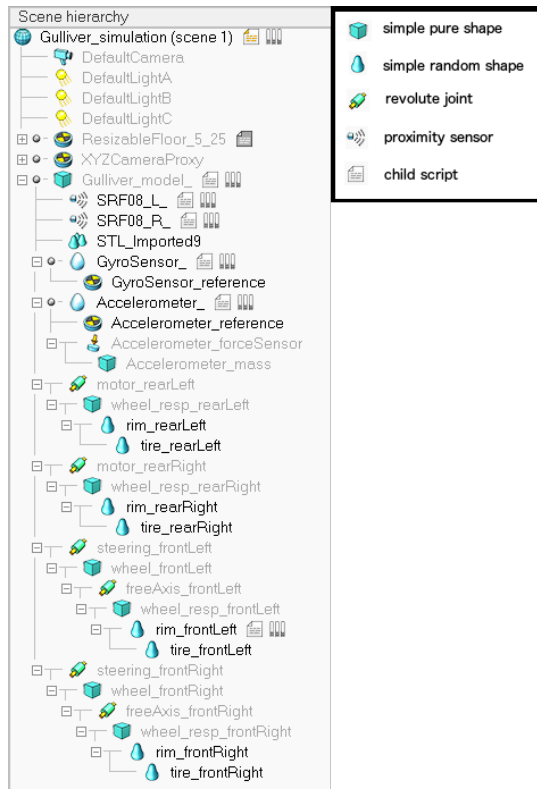
Gulliver-bilens skal implementerades genom att ta en existerande CAD-fil av Gulliver-bilen, som skapats av Chalmers studenter, och konvertera den till en läsbar fil för V-REP. Ur den konverterade CAD-filen importerades varje del av skalet, 95 stycken, direkt till V-REP. Delarna är av typen *simple random shape* vilka har ett högt polygonantal som gör dem beräkningstunga [27]. Dessa delar är bara statiska objekt i V-REP och finns

främst som referens till placering av sensorer och av estetiska skäl. V-REP använder sig av 16 lager där de åtta första är synliga och de åtta sista är osynliga som standard. Lager används för att gruppera objekt för enklare hantering av större modeller då man enkelt kan välja vilka grupper av objekt som ska visas. De importerade statiska objekten ligger i det enda synliga lagret och tillsammans utgör de den synliga delen av bilen. I två osynliga lager ligger de objekt som utgör den faktiska bilen och ger bilen de egenskaperna den fysiska Gulliver-bilen har. De tre lagrarna visas i figur 6



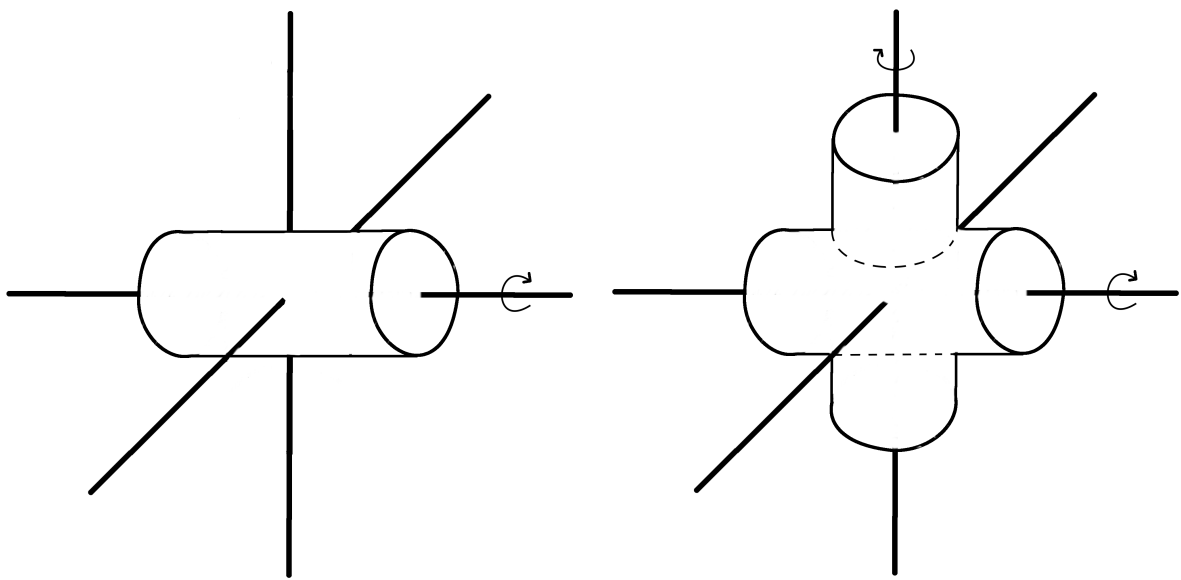
**Figur 6:** Bilden till vänster visar det synliga lagret, bilden i mitten visar det första osynliga lagret och bilden till höger visar det andra osynliga lagret.

Det första osynliga lagret består av sju dynamiska objekt; ett rätblock som är basobjektet, vilket innebär att alla andra objekt är indirekt kopplade till objektet, och sex cylindrar. Fyra av cylindrarna används för att driva bilen framåt eller bakåt, dvs hjulen, och två cylindrar används som styraxlar för att styra bilen. Alla dessa objekt är av typen *pure simple shape* vilket rekommenderas eftersom de har ett lågt polygonantal som ger bättre prestanda [27]. Modellen använder en så kallad *child/parent-struktur* där basobjektet, eller *parent*-objektet, har ett eller flera *child*-objekt som i sin tur kan ha ytterligare flera *child*-objekt. Ett *child* kommer alltid behålla sin relativ position till sin *parent* och då *parent*-objektet förflyttas vid simulation så kommer positionen av samtliga *child*-objekt under *parent*-objektet att uppdateras så att de alltid befinner sig på samma punkt relativt sitt *parent*-objekt. Detta innebär att varje objekt har potential att vara både *child* och *parent* samtidigt och är alltså inte bundna till det ena eller andra. *Child/parent* strukturen kan ses i figur 7



**Figur 7:** Gulliver-modellens struktur i V-REP. Varje indentering är en subnivå i child/parent strukturen.

För att dynamiskt sammankoppla två objekt används *joints*. Modellen använder så kallade *revolute joints* där rotation bara sker kring en axel. En joint har ett parent-objekt som inte påverkas av rotationen och ett child-objekt som rör sig med rotationen, enligt den tidigare nämnda child/parent-strukturen. På bilens bakhjul finns två joints på varje sida som används som motorer. Joint-objekten har basobjektet som parent och en cylinder som child-objekt. När motorn roterar följer cylindern rotationen och bilen rullar då framåt eller bakåt. På framhjulen finns två liknande joints, med tillhörande cylindrar, på varje sida där skillnaden är att motorn är passiv för att efterlikna en fri axel mellan cylindrarna. På framsidan finns ytterligare två joints som istället roterar tillhörande cylinder kring z-axeln relativt xy-planet bilen kör på. Detta innebär rent praktiskt att dessa två joints ansvarar för att svänga bilen. Eftersom cylindern för hastighet är child till cylindern för styrning kommer bilen rulla i styrvinkeln. Alla joints ligger i det andra osynliga lagret. En grafisk representation av hur dessa revolute joints ser ut kan ses i figur 8. I dessa bilder kan man tänka sig bakaxeln som roterar bilens bakhjul i färdriktningen, samt framaxeln som inte bara roterar framhjulet i färdriktningen, utan även vrider framhjulet för att svänga och därmed justera färdriktningen.



**Figur 8:** Grafisk representation av *revolute joints* för bak- respektive framaxlar på bilen.

För att öka prestandan i en simulation kan man välja att göra det synliga lagret osynligt och istället göra det första osynliga lagret synligt. Detta resulterar i en visualisering som inte är lika estetiskt lockande men i övrigt uppfyller samma funktion.

Eftersom tekniska specifikationer på den fysiska Gulliver-bilen inte kunde tillhandahållas så uppskattades maximal svänggradie och hastighet för modellen.

#### 4.6.2 Miljön

Den virtuella miljön skapades på enklast möjliga sätt för att hålla nere prestandakravet så mycket som möjligt. Grunden på miljön är ett standard golv och ovanpå detta har det dragits en karta för att representera den väg som bilden bör följa. En karta i V-REP är en platt yta som beskrivs av ett antal vektorer, som sedan kan exporteras med hjälp av API:t. De sista elementen som utgör miljön är de ankare som används för trilateration. Dessa placeras med ungefär 120 graders vinkel mellan varandra, och är vid samma position i alla de olika miljöerna.

#### 4.6.3 Child scripts

Ett child script är ett litet program, skrivet i programmeringspråket Lua, som hanterar en eller flera önskade funktioner i simulationen. Ett child script kontrollerar oftast en modell, exempelvis en ultraljudssensor, och är associerat med ett objekt i modellen. Ett child script kan även kontrollera flera modeller då en mer central hantering önskas. Child script tillsammans med V-REP:s mångsidiga API gör det möjligt att få alla de funktioner som önskas i den virtuella modellen. Totalt har Gulliver-modellen fem child script varav tre har skapats i projektet och kommer förklaras. De resterande två är child script som är associerade med accelerometern och gyroskopet. De är standardscript som medföljer

modellerna.

Child scripten för ultraljudssensorerna heter `SRF08_L` och `SRF08_R` och är identiska så nära som på namnen som syftar på om det är högra eller vänstra ultraljudssensorn. Om ROS är aktiverat startas två publishers, `SRF08_L` och `SRF08_R`, en för respektive sensor, och avstånd i meter till närmsta objekt skickas om det finns något objekt inom räckhåll. Om inget objekt är inom räckhåll skickas värdet 0.

I `Gulliver_model` hanteras resten av modellerna. Om ROS är aktiverat startas först en subscriber, `motor`, som lyssnar på indata till motorregulatorn. Sedan startas fyra subscribers; `pathType` som skickar karttypen med vägpunkter för den autonoma styrningen att följa, `gyroAcc` som modellerar IMU:n och kontinuerligt skickar x och y-värden från accelerometern och z-värde från gyroskopet, `position` som kontinuerligt skickar bilens absoluta position och `ank1/ank2/ank3_distance` som modellerar RCM:er och kontinuerligt skickar avståndet från ankare ett, två eller tre till bilens egna RCM-modell. Scriptet hanterar ROS-styrning av bilen via både handkontroll och autonom styrning samt tangentbordstyrning då ROS inte är aktiverat, båda styrsätten använder ackermannstyrning. För fullständig källkod för child scripts se Appendix B.

#### 4.6.4 Motorregulator

Bilen använder en väldigt enkel motorregulator. Inparametrarna till motorregulatorn utgörs bara av hastighet och styrvinkel. Motorregulatorn tar den önskade styrvinkeln och sätter olika vinklar på respektive framräck. Vinklarna på hjulen följer den ackermann-modell som beskrivs i avsnitt 2.3. Hastigheten på de båda bakmotorerna sätts direkt till inparametervärdet. Motorregulatorn har bara en utparameter som är total sträcka bilen har kört. Motorregulatorn implementeras med child script och syns därför inte i modellstrukturen som visas i figur 7.

#### 4.6.5 IMU

För att modellera IMU:n i V-REP används bara en accelerometer och ett gyroskop vilka finns som standard modeller i V-REP. Gulliver-bilens IMU har flera funktioner men eftersom den virtuella modellen bara behöver mäta data från accelerometern och gyroskopet implementerades en enklare IMU. Detta sparar både tid och prestanda. IMU:n läser konstant in x, y och z-värden från modellerna men skickar endast vidare x och y-värden från accelerometern och z-värde från gyroskopet. Detta eftersom den virtuella kartan är platt, dvs tvådimensionell.

#### 4.6.6 RCM

Gulliver-bilen är utrustad med ett RCM-system för positionsbestämning. Systemet mäter avstånden till tre stycken ankare, och dessa värden används sedan för att bestämma bilens position med hjälp av trilateration. För att simulera systemet i V-REP har tre stycken ankare placerats ut på fasta positioner på de testbanor som har modellerats. V-REP har en inbyggd funktion, *distance measurement*, som mäter avståndet från bilen till varje ankare.

Funktionen utförs i ett child script och det implementerade RCM-systemet syns därför inte i figur 7.

#### 4.6.7 Ultraljudssensorer

Den fysiska Gulliver-bilen använder sig av två ultraljudssensorer på fronten som mäter avstånd till föremål framför bilen. För att modellera dessa sensorer i V-REP används standard modeller som ingår i V-REP. Dessa modeller sätts på varje sida av fronten på den modellerade bilen. Sensorerna syns i bilden till vänster i figur 6 som de röda konerna på framsidan av bilen.

#### 4.6.8 Kommunikation med ROS

För att kommunicera med ROS kan V-REP starta både publisher och subscriber och ange vilken topic de ska skicka till alternativt mottaga från, även meddelandetyp anges. V-REP använder sig av så kallade signaler som innehåller den information som skickas eller mottags. En signal har en primitiv typ men kan inte innehålla ett fält av den typen. Då flera värden av samma typ önskas skickas eller mottags samtidigt packas istället värdena i en sträng och en signal av typen sträng används. Detta kräver att mottagaren av meddelandet packar upp strängen korrekt innan värden kan användas.

### 4.7 Dataloggning

För att kunna utvärdera och förstå systemet behöver data loggas så att den kan tolkas i efterhand. I V-REP hanteras loggning i child scriptet `Gulliver_model` där önskad data hämtas och skrivs direkt till separata textfiler. ROS har en loggningsfunktion där man anger önskad data som ska loggas och hanteringen sköts av ROS. Data som loggas kommer även användas för att motivera resultat.

### 4.8 Joystick

För att tidigt kunna testa den virtuella modellen och senare simulera störningar i autopiloten implementerades styrning med joystick, detta fanns inte stöd för i V-REP för Ubuntu så detta implementerades i ROS.

### 4.9 Tester

Ett antal tester genomfördes under projektets gång. Detta för att utvärdera de system som användes och för framställning av resultat.

#### 4.9.1 Testning av mjukvaruarkitekturen

Testning av mjukvaruarkitekturen genomfördes successivt genom hela projektet. Testningen gick ut på att undersöka varje paket för att säkerställa att kommunikation mellan varje paket i ROS och topic i V-REP fungerar och att korrekta värden skickas. Detta gjordes genom att undersöka den data som ROS rapporterade över de topics relevanta för det testade paketet via ROS egna funktion `rostopic echo [topic-namn]`. Med hjälp

av denna funktion kunde man enkelt observera en dataström från V-REP i ett terminalfönster och jämföra denna mot data som rapporterades lokalt i simulatorn, dock endast då ett värde skickades. Vid kommunikation av strängdata fungerade inte längre denna metod lika dynamiskt utan antaganden var tvungna att göras av hur strängdatan skulle bearbetas i gränssnittet varpå kommandot sedan användas för att istället visa datan efter gränssnittet.

Efter att varje paket och nod testats individuellt testades hela systemet med alla paket och noder samtidigt via observation av hur bilen körde i simulatorn. Det slutgiltiga testet är det mest intressanta, eftersom hela mjukvaruarkitekturen körs. Detta innebär att alla paketen i ROS som skapar vägplaneringen, positionsestimeringen, kollisionsundvikningen nu körs, samt att all data från V-REP, som innehåller sensordata och motorregulatorn, nu skickas och tas emot samtidigt. Denna data loggas sedan via två metoder för att att utvärdera problem som kan tänkas uppstå vid simulationen, samt för att möjliggöra kalibrering av filter vid introduktion av artificiella störningar i sensorerna då ett mer verkligt scenario vill uppnås. Den första metoden är ROS egna, inbyggda, loggfunktion som rapporterar syntax-/kommunikationsfel i koden eller ramverket. Den andra metoden är egenhändigt skrivna loggar som endast skriver data på de mätvärdet som rapporteras för att kunna rita grafer och utvärdera filter och regulator. Då mjukvaruarkitekturen i sig testas används kommandot `rqt_graph` i ROS som ritar en figur över alla topics och noder som körs och länkar samman dessa efter kommunikationsvägar. Om denna figuren visar alla tänkta topics och noder, samt korrekta kommunikationsvägar kan mjukvaruarkitekturen konstateras vara den önskade då ROS egna verktyg anses vara tillförlitliga.

#### 4.9.2 Simulation

Att testa varje sensor som modellerats i V-REP samt motorregulatorn är svårt eftersom projektet inte hade tillgång till någon data från den fysiska modellen. Däremot kan man fortfarande testa att data skickas från de olika sensorerna, samt att dessa ger korrekt utslag på positionsestimeringen samt autopiloten som båda antas fungera sedan tidigare tester utförda av H. Fransson och V. Nilsson på den fysiska Gulliver-bilen.

Bilens motorkontroller testas genom att den använder den data som skickas från ROS till V-REP via joystick och gränssnitt. Detta görs genom att observera hur bilen beter sig då motorkontrollern får styrmeddelanden från de signaler som skickas från joysticken. Eftersom gränssnittet för motorkontrollern på ROS-sidan arbetar med samma meddelandetyp för både joystick och autonom styrning kan motorkontrollern konstateras fungera även för den autonoma styrningen.

#### 4.9.3 Vägplanering

Denna funktion anses vara en av de viktigaste funktionerna att testa. Den testas dels genom observation av simulationen för att se hur bra bilen följer sina vägpunkter, men även genom avläsningar av loggdata för att se hur väl uppmätt positionsdata överensstämmer med vägpunkternas position. Denna loggdata går sedan att använda för att trimma bilens tolerans för när den är nära nog en vägpunkt för att välja att åka vidare till nästa.

#### 4.9.4 Positionsestimation

Testning av positionsestimeringen görs genom att jämföra loggdata från den implemen-terade positionsestimeringen med loggdata från den faktiska position som simulationen i V-REP säger att Gulliver-modellen har. Ju närmare positionsestimeringens uppskattade position är den faktiska positionen från V-REP desto bättre är positionsestimeringen. För att förbättra positionsestimeringen kan parametrarna för paketet `estimate_position`:s kalmanfilter justeras. Dessutom kan störningar läggas på de virtuella sensorerna för att närmare efterlikna ett verkligt scenario.

#### 4.9.5 Systembelastning

Systembelastningen testas genom att köra simulationen på ett flertal olika system med olika hårdvara för att ge en bild av ungefär den datorprestanda som krävs för att köra simulationen stabilt. Systemspecifikationer finns i tabell 1.

**Tabell 1:** Visar de systemspecifikationer som används för att stresstesta simulationen

1	Intel Core i7-5500U 2.40GHz Integrated Intel HD Graphics 8 GB DDR3-1600 Mhz Lubuntu Desktop 14.10
2	Intel Core i7-3630QM 2.40GHz GeForce GTX 670MX 24 GB DDR3-1600 Mhz Lubuntu Desktop 14.04
3	Intel Core i7-4790K 4.00GHz GeForce GTX 770 32 GB DDR3-2133 Mhz Lubuntu Desktop 14.04

Det viktigaste för detta test är att simulatorn fortfarande kan köra i ett realtidsläge för att inte få fel värden i uppdateringen av färdriktningen utifrån gyroskopdata. Tröskelvärdet för när detta inte längre är möjligt ligger omkring 20 bildrutor per sekund (fps). Test genomförs både med den mindre krävande grafiska modellen samt med den mer krävande. Metodiken för testet var att för varje hårdvarusystem kopiera upp så många kopior som möjligt av bilen i V-REP och observera om simulatorn rapporterade att den inte längre kunde hålla igång realtidsläget. Då simulatorn inte längre klarade av att driva en realtidssimulation så togs den sist tillagda bilen bort och ungefärlig fps observerades och antecknades. ROS var inte aktiverat under detta test men konstaterades via observation av systemets aktivitetshanterare ha en försumbar inverkan på den totala systembelastningen. Orsaken till detta var svårigheter med kommunikation mellan V-REP och ROS vid implementation av flera bilar. Även den totala tiden för arkitekturen att bearbeta data mäts via ROS egna verktyg `rqt_bag` som bland annat visar tidsstämpel för varje nod då någon form av kommunikation sker i ROS ramverket.

## 5 Resultat

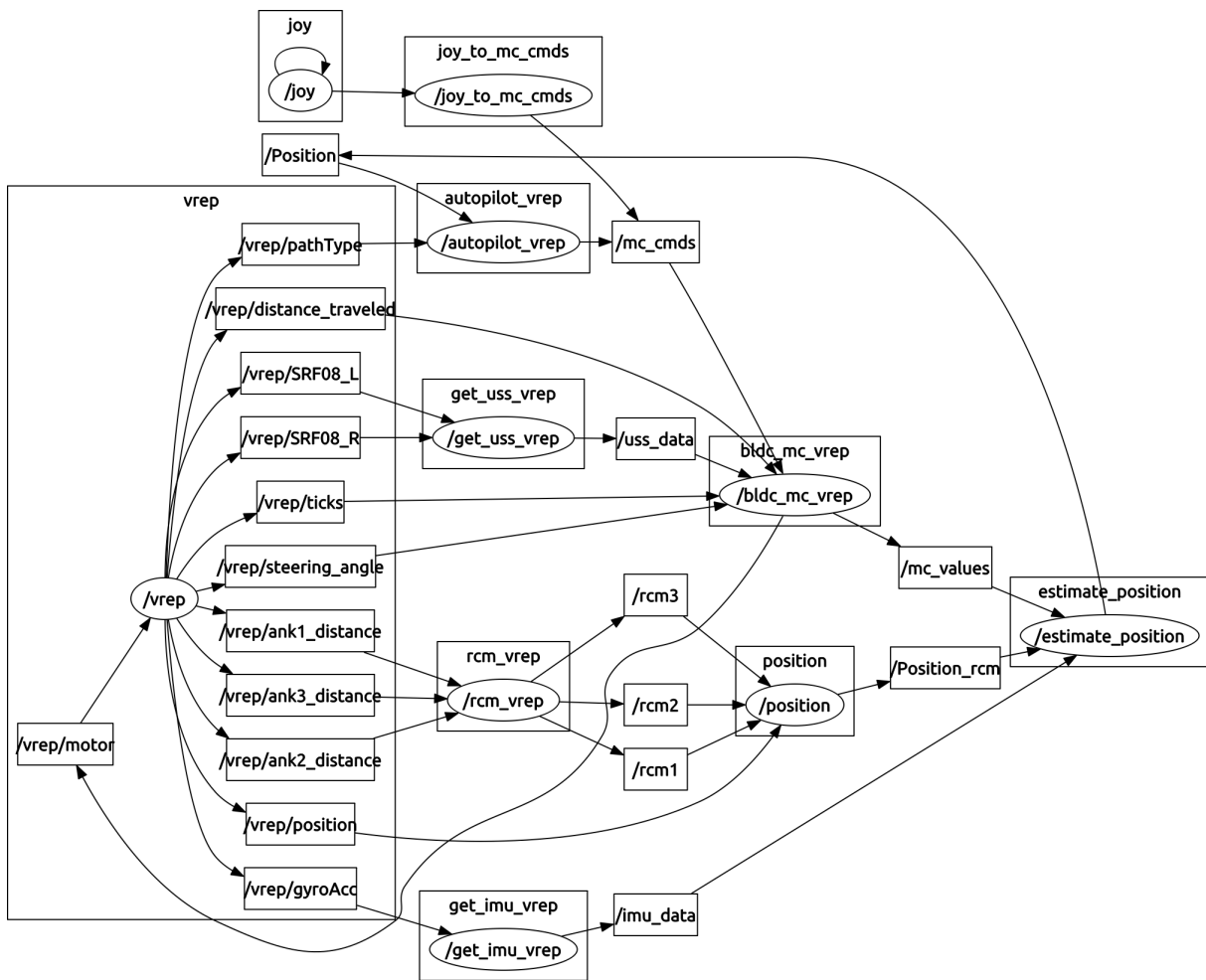
Detta kapitel presenterar resultatet som uppnåtts i projektet. Resultatet redovisas delvis i form av grafer där loggad data jämförs och resultaten av testerna beskrivna i kapitel 4.9 presenteras. Önskad mjukvaruarkitektur jämförs med den faktiska och bilder på den virtuella modellen visas och diskuteras.

### 5.1 Mjukvaruarkitekturen

För att bygga mjukvaruarkitekturen skapades först en modell över önskad mjukvaruarkitektur. I ROS finns en funktion som visar hur den faktiska arkitekturen, med noder och topics, ser ut. Denna funktion används för att rita upp byggd arkitektur.

#### 5.1.1 Uppnådd mjukvaruarkitektur efter test

För att få förståelse över hur bra den önskade mjukvaruarkitektur sammanfaller med den faktiska mjukvaruarkitekturen används ROS egna verktyg `rqt_graph`. Denna funktion ritar en graf med kommunikationen i ROS genom att rita upp topics och noder samt pilar mellan dessa. Denna graf syns i figur 9. I figuren kan man se rutan *vrep* som motsvaras av den vänstra sidan i figur 5 och resten motsvarar delarna i ROS. Vissa namn är olika men man kan konstatera att det är samma mjukvaruarkitektur.



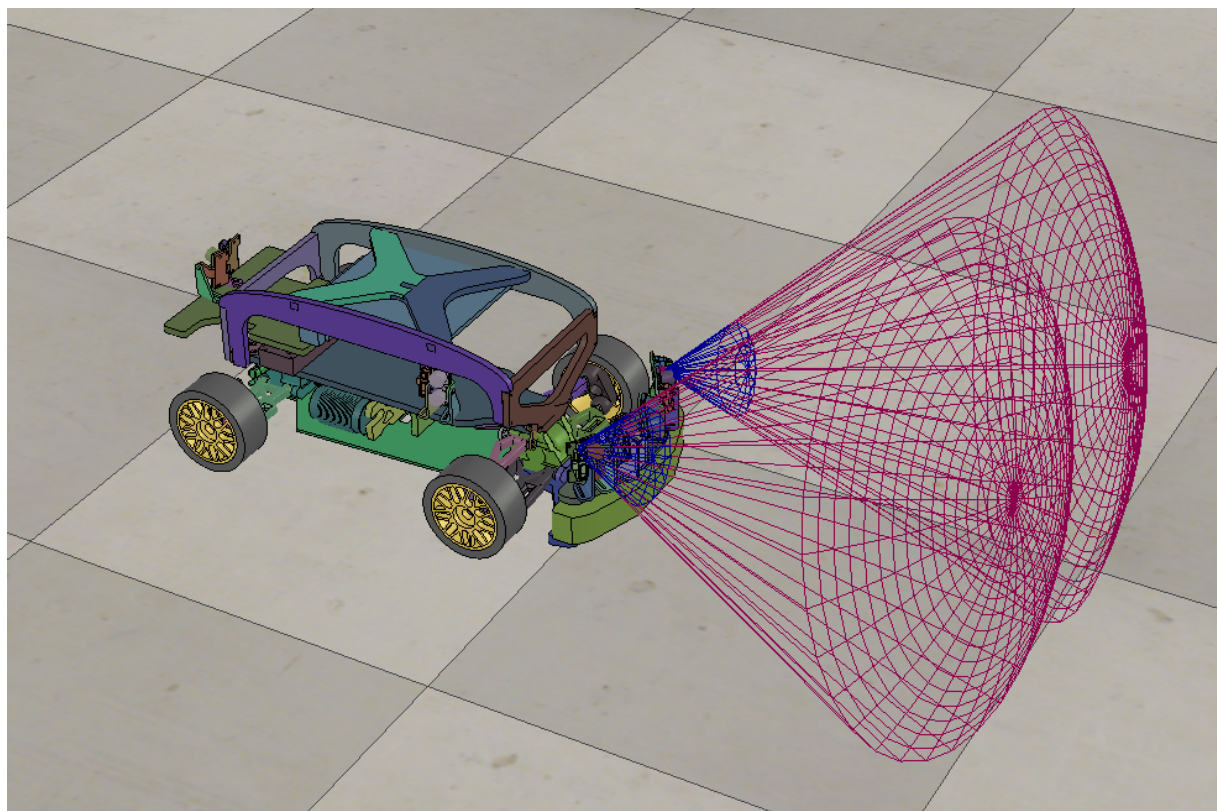
Figur 9: Resultatet från rqt\_graph. Rektanglarna motsvarar topics och cirklarna motsvarar noder.

## 5.2 Modellerings

Här visas resultatet av den virtuella modellen innehållande Gulliver-modellen och miljön.

### 5.2.1 Bilen

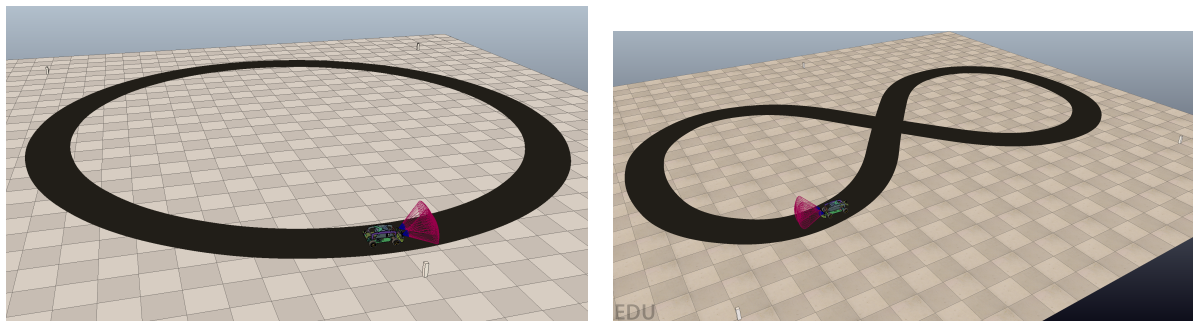
Den slutgiltiga Gulliver-modellen visas i figur 10. Bildelarna som syns, presenterat i olika färger, är de 95 delarna som Gulliver-bilen består av och konerna är ultraljudssensorerna. Resterande sensorer syns inte då de implementeras i form av mjukvara. Önskas bättre prestanda i simulationen kan en visuellt enklare bilmodell användas, vilket beskrivs i kapitel 4.5.1.



**Figur 10:** Gulliver-bilen modellerad i V-REP med ultraljudssensorer

### 5.2.2 Miljön

De två miljöerna som modellerats i V-REP kan ses i figur 11. Gulliver-modellen skall köra på de svarta vägarna och varje miljö har tre vita pelare som symbolisera de tre ankarna som behövs för trilateration när man estimerar positionen för Gulliver-modellen. Bilderna är på cirkeln och åttan som skulle skapas i miljön.



**Figur 11:** Miljö med cirkel som karta med Gulliver-modellen samt de tre ankarna.

### 5.3 Loggar

Här beskrivs de loggar som egenhändigt skapats för beräkning av sensordata samt vad de loggar. De loggar som skapas av ROS kommer ej att behandlas.

#### 5.3.1 V-REP

Följande loggar visar data från V-REP:

Filnamn	Förklaring
<code>distance.log</code>	Total sträcka bilen har kört samt tachometervärde.
<code>imu.log</code>	x- och y-värden från accelerometern och z-värden från gyroskopet.
<code>rcm1.log</code>	Avstånd mellan bilen och <i>Ankare</i> .
<code>rcm2.log</code>	Avstånd mellan bilen och <i>Ankare0</i> .
<code>rcm3.log</code>	Avstånd mellan bilen och <i>Ankare1</i> .
<code>position.log</code>	Bilens absoluta position.
<code>motor.log</code>	Bilens hastighet och styrvinkel.
<code>uss_L.log</code>	Avstånd till närmsta objekt, inom räckvidd, framför bilen.
<code>uss_R.log</code>	Avstånd till närmsta objekt, inom räckvidd, framför bilen.

### 5.3.2 ROS

Nedanstående ROS-paket innehåller loggar som visar följande data:

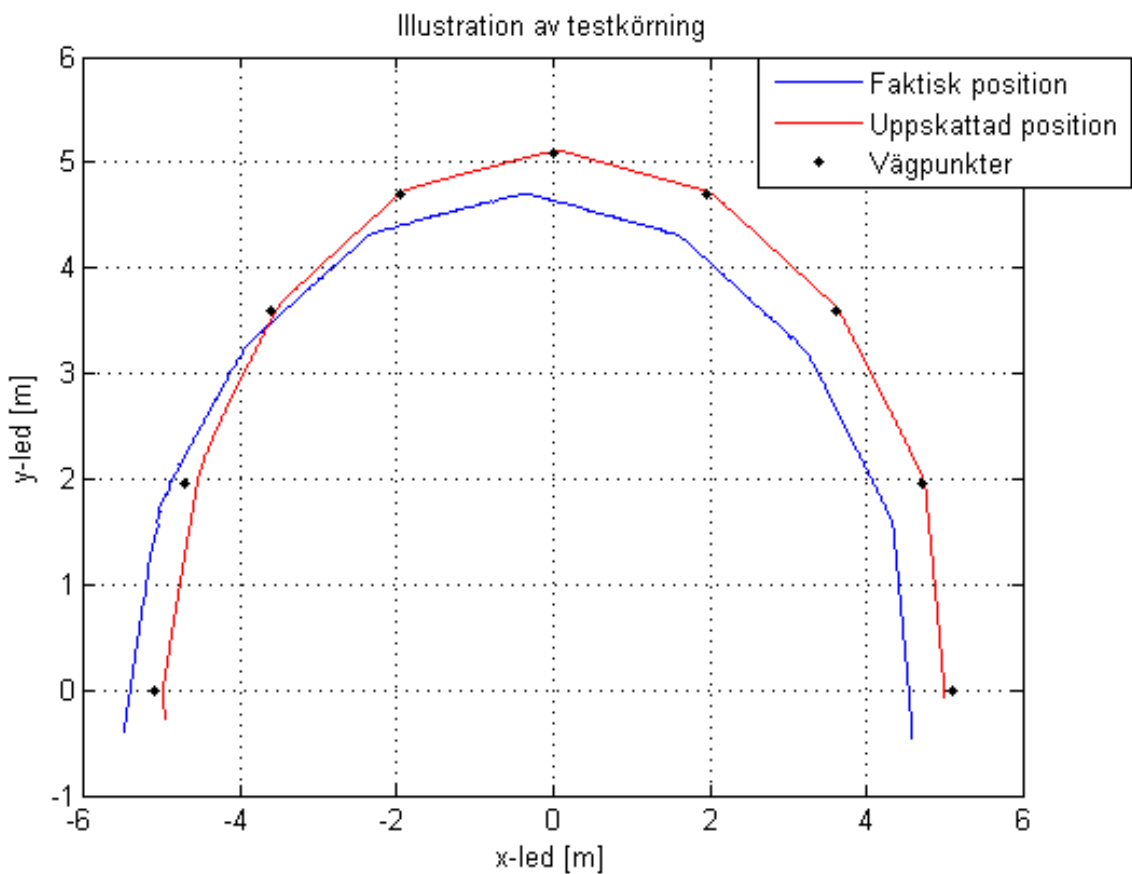
Paket	Förklaring
<code>autopilot_vrep</code>	Vilken statisk karta, indikerar om ingen statisk karta lästs in. Vilken position och färdriktning som mottags från <code>estimate_position</code> . Uppnådda vägpunkter, när sista vägpunkt har nåtts samt omstart. Indikerar om en vägpunkt är utanför det rimliga området.
<code>estimate_position</code>	Position som mottags från trilaterationen. Uppskattad total sträcka körd. Mottagen styrvinkel. Uppskattad färdriktning. Position och färdriktning som publiceras efter kalmanfiltrering.
<code>rcm_vrep</code>	Mottagna avstånd, från V-REP, mellan bilen och alla tre ankare.
<code>position</code>	Mottagna avstånd, från <code>rcm_vrep</code> , mellan bilen och alla tre ankare. Uppskattad position samt om uppskattat värde ligger utanför satt tolerans. Absolut position mottaget från V-REP. Felmarginal mellan uppskattad och absolut position.
<code>get_imu_vrep</code>	Mottagna IMU-värden från V-REP.
<code>get_uss_vrep</code>	Mottagna värden från ultraljudssensorerna från V-REP.
<code>joy_to_mc_cmds</code>	Avlästa joystick värden och resulterande hastighet och styrvinkel.

## 5.4 Tester

Resultatet av de olika tester som genomfördes under projektet redovisas i detta underkapitel. Data fås från loggarna och några tester är bara observationer.

### 5.4.1 Vägplaneraren

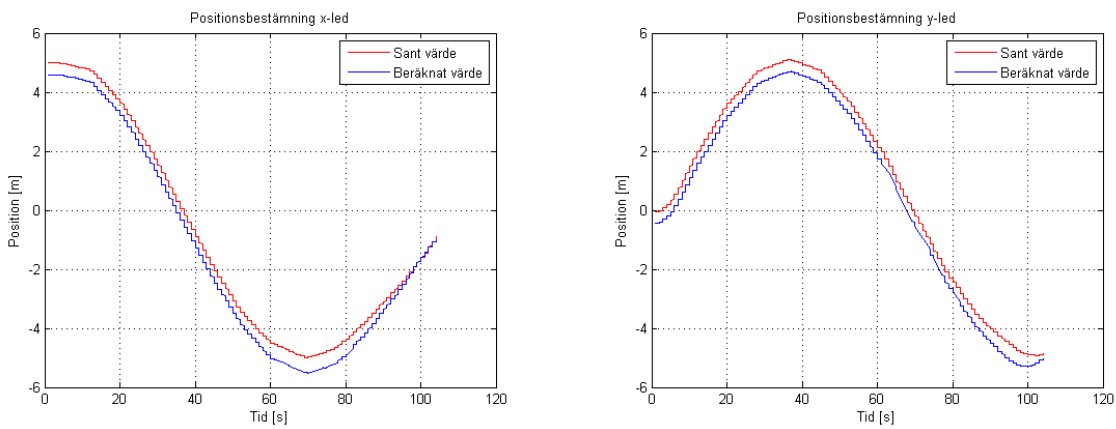
Vägplaneringen testades i miljön med en cirkel som karta genom att låta bilen köra ett varv. Uppskattad position, faktisk position och vägpunkterna som beräknad utifrån loggdata visas i figur 12. För att lättare kunna se resultatet visas bara halva cirkeln. En iakttagelse kan göras från figur 12 som konstaterar att positionestimeringen inte är perfekt utan har ett fel som varierar mellan försumbart och ungefär en halvmeter från vägpunkterna. Detta observeras genom att den sanna position inte ligger i linje med den estimerade positionen. Däremot så kan man se att autopiloten beter sig helt som önskat då den position bilen tror sig ha stämmer precis överens med vägpunkternas position. Daten i denna figur har hämtats från loggarna i `autopilot_vrep` och `position`.



**Figur 12:** Resultat av ett halvt varvs körande med vägplaneraren

#### 5.4.2 Positionsuppskattning

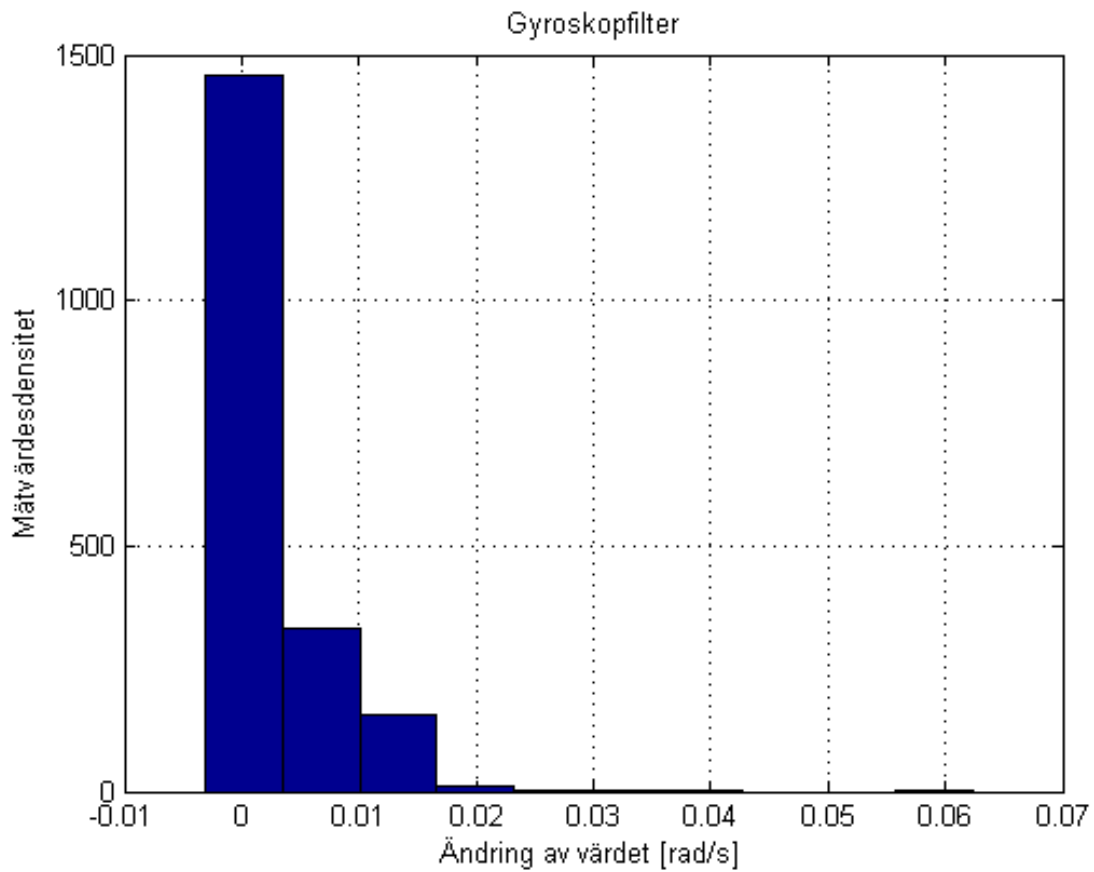
I figur 13 jämförs bilens faktiska position med den uppskattade positionen för att visa skillnaden i x-led respektive y-led. Datan i denna figur har hämtats från loggarna i position.



**Figur 13:** Hur väl positionsuppskattningens beräknade värden stämmer med de sanna värdena.

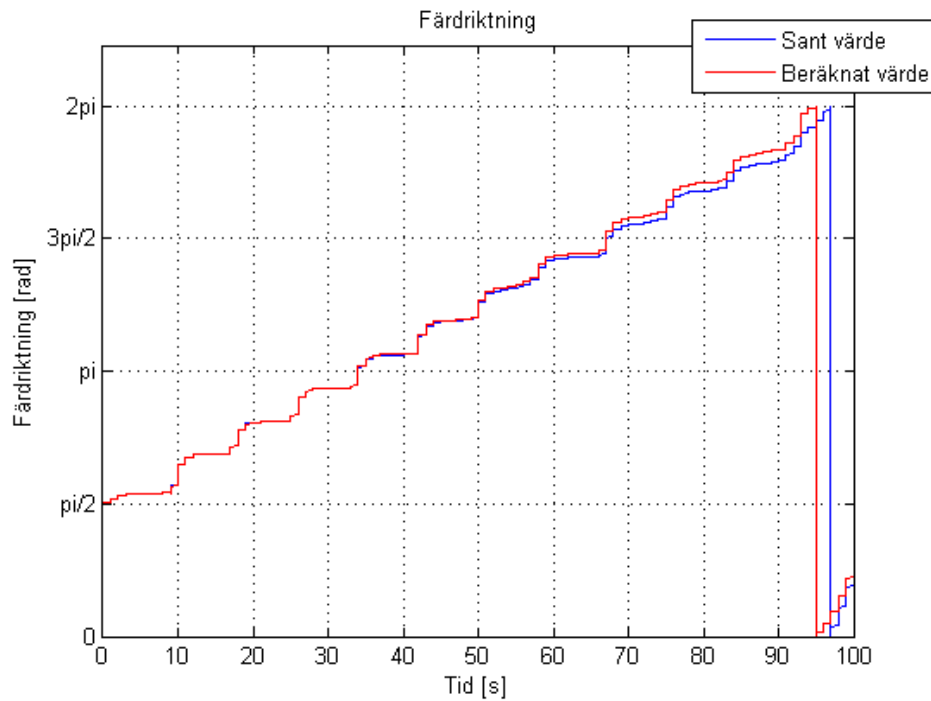
#### 5.4.3 Sensorer och motorkontrollern

Eftersom det antas att kalmanfiltret fungerar väl kan data jämföras innan och efter filtrering för att bekräfta att sensorerna är korrekt modellerade, figur 14 beskriver detta. Nästan ingen skillnad syns före och efter filtrering, detta tyder på att sensorerna skickar data utan brus. Detta skall också vara fallet då inget brus är implementerat i simulationen. Datatan i denna figur har hämtats från loggarna i `estimate_position`.



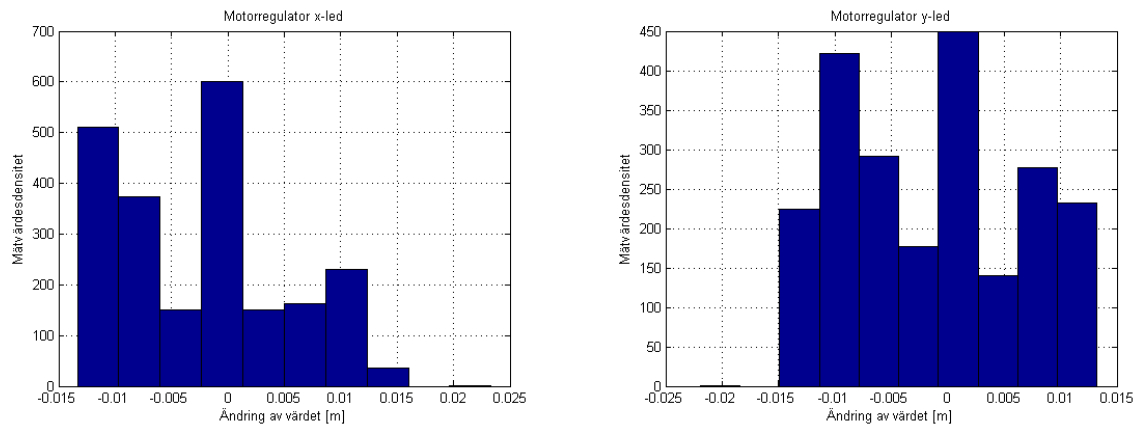
**Figur 14:** Ett histogram som visar skillnaden i sensorvärde för gyroskopet före och efter filtrering

Sensordatan används sedan för att ändra färdriktningen, det vill säga den riktning som bilens front har. Figur 15 visar vilken beräknad färdriktning som bilen har efter filtrering och jämför det med det faktiska värdet från simulationen. Från figuren kan det utläsas att felet växer med tiden vilket tyder på ett fel i positionsuppskattningen. Om det dessutom skulle komma brusiga signaler från sensorerna hade felet med största sannolikhet varit ännu större. Daten i denna figur har hämtats från loggarna i `get_imu_vrep` och `estimate_position`.



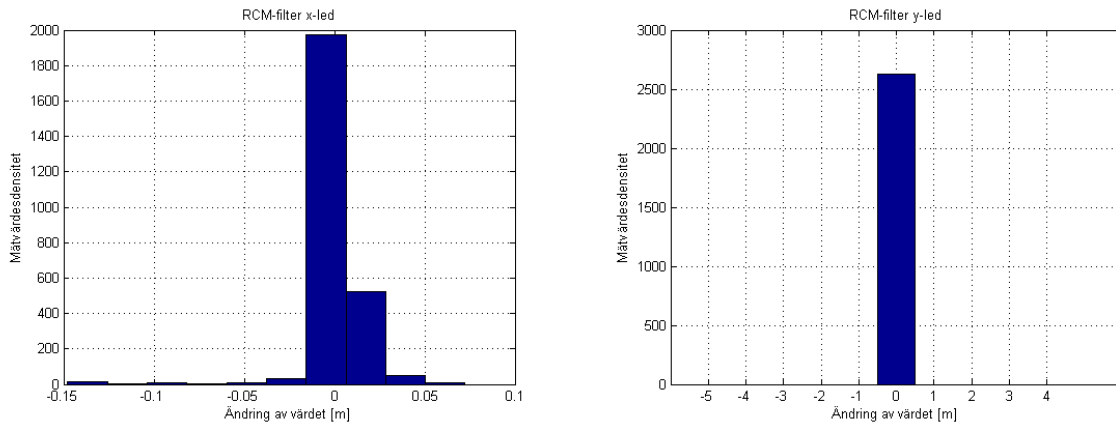
**Figur 15:** Beskriver skillnaden mellan beräknad färdriktning och faktisk färdriktning. Den plötsliga förändringen sker när bilen kört ett varv runt sin egen axel.

Den önskade färdriktningen skickas sedan till motorregulatorn. Fördelningen av skillnaden på önskad och faktisk färdriktning illustreras i figur 16. Detta bevisar att motorregulatorn tar emot, reglerar och skickar data vilket tyder på att regulatorn fungerar. Daten i denna figur har hämtats från loggarna i `estimate_position`.



**Figur 16:** Histogram som visar fördelningen av skillnader mellan in- och utdata i x- respektive y-led för motorregulatorn

Datan som skickas från RCM-sensorerna filtreras också i Kalmanfiltret. Skillnaden före och efter filtreringen beskrivs i figur 17. Daten i denna figur har hämtats från loggarna i `estimate_position`.



**Figur 17:** Histogram som visar fördelningen av positionskoordinater i x- respektive y-led för RCM-systemet

#### 5.4.4 Systembelastning

Tabell 2 beskriver de systemkrav som behövs för att simulationen skall kunna köra i realtid. Bilarna kör inte i konvoj när detta test genomförs.

**Tabell 2:** Visar de systemspecifikationer som används för att stressstesta den lågupplösta samt högupplösta Gulliver-modellen. Tröskelvärdet för att inte förlora realtid för simulationen ligger strax under 20 fps.

1	Intel Core i7-5500U 2.40GHz Integrated Intel HD Graphics 8 GB DDR3-1600 Mhz Lubuntu Desktop 14.10	Högupplöst modell: 0 bilar
		Lågupplöst modell: 2 bilar, 22 fps
2	Intel Core i7-3630QM 2.40GHz GeForce GTX 670MX 24 GB DDR3-1600 Mhz Lubuntu Desktop 14.04	Högupplöst modell: 1 bil, 25 fps
		Lågupplöst modell: 7 bilar, 20 fps
3	Intel Core i7-4790K 4.00GHz GeForce GTX 770 32 GB DDR3-2133 Mhz Lubuntu Desktop 14.04	Högupplöst modell: 3 bilar, 20 fps
		Lågupplöst modell: 13 bilar, 20 fps

Det finns en tidsfördröjning i mjukvaruarkitekturen vilket är den tid det tar för den kritiska processen att börja om. När mjukvaruarkitekturen kördes på en dator enligt specifikationerna i rad ett i tabell 2 hade den en tidsfördröjning på ungefär 12 millisekunder, resultatet visas i figur 18 där vrep/motor var den kritiska processen.



**Figur 18:** Beskriver den tidsfördröjning varje paket har. Mjukvaran startar vid markeringen för *vrep/ticks*. Markeringen i varje rad visar när noden har kört en iteration

## 6 Diskussion

I följande kapitel diskuteras de resultat som har fåtts från projektet, fördelar och nackdelar med systemet samt framtida arbeten som kan vidareutveckla detta.

### 6.1 Mjukvaruarkitekturen

Den skapade mjukvaruarkitekturen kan optimeras då flera av paketen är skrivna i Python för tidsbesparing. Om all mjukvara istället skrevs i C++ förmidas mjukvaruarkitekturen ha mindre tidsfördröjning, då detta språk har en generellt högre prestanda. Samtidigt antas att kompatibiliteten till den fysiska modellen finns kvar eftersom topics har samma namn och samma meddelandetyper används. Detta testas dock aldrig, vilket inte heller var planerat, men förhoppningsvis underlättar detta för framtida arbeten.

### 6.2 Positionsuppskattning samt vägplaneraren

Som ses i figur 12 innehåller resultaten från vägplaneraren en felmarginal som ligger mellan 0 till 0.5 meter från den önskade vägen. Detta tror vi kan spåras tillbaka till positionsuppskattningen eftersom vägplaneraren följer den önskade vägen för den uppskattade positionen men inte för den faktiska positionen. Troligtvis är felet i positionsuppskattningen ett fel som beror på flera parametrar. En av parametrarna syns i figur 13 där positionsuppskattningen har ett förhållandevi konstant fel förutom när Gulliver-modellen svänger skarpt, då ökar felet. Vi uppmärksammar också en annan felparameter vilket är att felet på färdriktningen byggs upp över tiden som syns i figur 15. Vi tror att dessa två anledningar bidrar till en sämre positionsuppskattning.

En annan anledning till felmarginen i positionsuppskattningen kan vara att kalmanfiltret har ett för lågt kovariansvärde. Detta ackumulerar upp ett fel ju längre bilen kör eftersom även här används gamla värden när det nya skall beräknas, och resulterar i en större felmarginal ju längre bilen har kört.

Ur histogrammen kan det avläsas att Kalmanfiltret i `estimate_position` gör ytterst små regleringar i det avlästa mätvärdet. Detta tros betyda att orsaker till mätfel inte ligger i parametervärdet för filter, utan snarast någonstans i arkitektur eller simulator. Mest troligt skulle vara avrundningsfel mellan simulator och ramverk.

Positionsuppskattningen använder sig också av trilaterering för att bestämma var bilen befinner sig, men detta ger upphov till problem när bilen är i rörelse. Under den tiden det tar för systemet att mäta avståndet till ankarna, skicka det till ROS-noden för positionsuppskattning, samt använda datan för att beräkna den faktiska positionen, så befinner sig bilen redan vid en ny position. Detta gör att när positionen jämförs med den önskade positionen för att ställa in styrvinkeln som krävs för att nå dit, så är den inte helt korrekt. Därför gör bilen korrigeringar av färdriktningen senare än vad den borde, som i sin tur ger upphov till en felmarginal mellan den önskade och den faktiska vägen. Den effekten blir mer påtaglig ju högre hastighet bilen har, men kan motverkas genom att ha en låg hastighet och en hög frekvens på RCM:erna.

### 6.3 Prestanda

Simulationen som genomförs i V-REP kräver ett kraftfullt datorsystem för att fungera, vilket ses i tabell 2, där system ett är en standardlaptop medan system tre är en stationär speldator. Detta är ett problem speciellt för konvojkörning om man har ett sämre datorsystem. Även då simulationen är optimerad med lågupplöst modell och en simpel miljö kräver V-REP mycket beräkningskraft, men vi anser att systemet fortfarande är applicerbart trots de höga systemkraven. Vi ser också att det finns möjlighet att implementera den konvojkörning och kommunikation vi önskar om man har datorsystem tre i tabell 2 samt använder den lågupplösta modellen.

Datorkraften som finns tillgänglig för simuleringen påverkar tidsfördröjningen i mjukvaruarkitekturen. Denna kunskap är värdefull när man ska bestämma hur ofta simulationen ska uppdateras, denna tid kan variera i tidssteg mellan 10-200 millisekunder. I det fall som är testat på datorsystem ett enligt tabell 2, det vill säga det sämst presterande systemet, skulle tidssteg i simulatorn under tolv millisekunder kunna resultera i att ROS inte hinner genomföra alla beräkningar innan simulationen uppdateras vilket gör att beräknade värden inte längre är aktuella. För att få bästa resultat bör därmed tidsfördröjningen för det aktuella systemet mätas för att undvika denna typ av fel, så att uppdateringstiden i V-REP kan justeras därefter.

### 6.4 Framtida utmaningar

Framtida utmaningar för andra projekt är att färdigställa ett fungerande kommunikationssystem i mjukvaruarkitekturen för förbättrad konvojkörning. En enkel förberedelse för nätverkskommunikation har implementerats. Framtida arbeten kan också säkerställa, utveckla nya eller förbättra olika filter och regulatorer för att förbättra vägplaneringen och positionsuppskattningen samt få systemet att köra i den fysiska modellen.

Något som även behöver tänkas på när simulerade system skall testas i en fysisk miljö är att de sensorer som finns i V-REP inte innehåller något brus, samt att de alla beter sig exakt som specificerat. I verkligheten är det inte så enkelt då brus i signalerna samt små individuella skillnader mellan sensorer av samma typ kan ge olika resultat. Därför behövs det diverse filter för att få samma resultat på den fysiska bilen som på den simulerade. Ett sätt att lösa det problemet är att manuellt införa någon form av slumpmässig data i de signaler som mäts upp av V-REP som då får simulerar de störningar som alltid återfinns i fysiska system.

Den slutgiltiga utmaningen blir att implementera ett helt fungerande system på den fysiska Gulliver-bilen efter att ha testat det i den virtuella modellen. Vi anser att en modell i V-REP kan efterlikna verkligheten till den grad att det blir jämförbart med en fysisk modell. Vår modell behöver dock vidareutvecklas, som diskuterat, för att uppnå denna noggrannhet.

## 7 Slutsats

En av utmaningarna med att testa autonoma styrsystem menade för fullskaliga fordon är testkörningar av dessa innan de är säkra nog att användas i verkliga situationer. Ofta används nedskalade modeller, ett exempel är plattformen Gulliver som är en av grunderna till projektet, men även dessa är både dyra och tidskrävande att bygga, samt tar tid att ändra om man vill testa med olika värden på parametrar och olika typer av sensorer. Den virtuella modell som har utvecklats i detta projekt är därför ett utmärkt verktyg att använda som en första plattform när autonoma system skall utvecklas. Efter utvecklingen av grundsystemet är det ett mycket billigt och tidseffektivt verktyg. Flera bilar kan även simuleras samtidigt, något som är både dyrt och riskabelt att göra med fysiska bilar.

En av de viktigaste slutsatserna av detta projekt är att verktygen vi använder och den mjukvaruarkitektur som byggts för vår virtuella modell fungerar bra och kan vidareutvecklas. Olika filter och regulatorer för bilar kan lätt utvecklas och testas eftersom miljön är modulär. Detta projekt går att utveckla till att omfatta väldigt mycket. Det går att utveckla och testa nya system utan att behöva slösa tid och pengar på hårdvara.

## Referenser

- [1] M. Peden, R. Scurfield och D. Sleet. *World Report on Road Traffic Injury Prevention*. Albany, NY, USA. 2004. URL: <http://site.ebrary.com.proxy.lib.chalmers.se/lib/chalmers/reader.action?docID=10053723&ppg=22> (hämtad 2015-01-27).
- [2] M. Arora, P. Kochar och T. Gandhi. *Autonomous Driven Car*, i *2nd International Conference on Emerging Trends in Engineering and Management*. 2013. URL: <http://www.journals.rgsociety.org/index.php/ijse/article/view/422/206> (hämtad 2015-01-27).
- [3] E. Frazzoli. *Can We Put a Price on Autonomous Driving?* 2014. URL: <http://www.technologyreview.com/view/525591/can-we-put-a-price-on-autonomous-driving/> (hämtad 2015-05-14).
- [4] Papatriantalo-M. Pahlavan M. och E. M. Schiller. *Gulliver: a test-bed for developing, demonstrating and prototyping vehicular systems*. 2011.
- [5] H. Fransson och V. Nilsson. Privat kommunikation. 2015.
- [6] E Eriksson, F. Hagslätt, R. Nard m. fl. "Gulliver Simulation: En systemarkitektur för natverkssimulering av kooperativa robotar". I: (2015).
- [7] Christian Berger, Erik Dahlgren, Johan Grundén m. fl. "Bridging Physical and Digital Traffic System Simulations with the Gulliver Test-Bed". English. I: (2013).
- [8] Kajko-Mattsson M. Nikitina N. och M. Stråle. "From scrum to scrumban: A case study of a process transition C3 - 2012 International Conference on Software and System Process, ICSSP 2012 - Proceedings". I: *2012 International Conference on Software and System Process, ICSSP 2012* (2012), s. 140 –149.
- [9] T. Glad och L. Ljung. *Reglerteknik: grundläggande teori*. 4th. Studentlitteratur, 2006.
- [10] Cruceru-C. Suliman C. och F. Moldoveanu. "Mobile robot position estimation using the Kalman filter". I: *Department of Automation* (2009), s. 1–3.
- [11] Burgard W. Thrun S. och D. Fox. *Probabilistic Robotics*. MIT Press, 2005, s. 34 –39.
- [12] J. M. Snider. *Automatic steering methods for autonomous automobile path tracking*. Pittsburgh, PA, Tech. Rep. CMU-RITR-09-08, 2009.
- [13] F. Thomas och L Ros. "Revisiting trilateration for robot localization". I: *IEEE Transactions on Robotics* 21.1 (2005), s. 93–101.
- [14] *About ROS*. URL: <http://www.ros.org/about-ros/> (hämtad 2015-05-14).
- [15] J. Bohren. *Packages*. 14 mars 2014. URL: <http://wiki.ros.org/Packages> (hämtad 2015-05-14).
- [16] K. Conley. *Nodes*. 3 febr. 2012. URL: <http://wiki.ros.org/Nodes> (hämtad 2015-05-14).
- [17] N. Lamprianidis. *Messages*. 18 nov. 2012. URL: <http://wiki.ros.org/Messages> (hämtad 2015-05-14).

- [18] D. Forouher. *Topics*. 1 juni 2014. URL: <http://wiki.ros.org/Topics> (hämtad 2015-05-14).
- [19] *PulsON 410 Ranging and Communication Module Data Sheet*. Time Domain. Nov. 2013. URL: <http://www.timedomain.com/datasheets/320-0289E%20P410\%20Data\%20Sheet.pdf> (hämtad 2015-05-14).
- [20] *MEMS motion sensor: three-axis digital output gyroscope L3GD20 Data Sheet*. STMicroelectronics. Febr. 2013. URL: <http://www.st.com/web/en/resource/technical/document/datasheet/DM00036465.pdf> (hämtad 2015-05-14).
- [21] *Ultra-compact high-performance eCompass module: 3D accelerometer and 3D magnetometer LSM303DLHC Data Sheet*. STMicroelectronics. Nov. 2013. URL: <http://www.st.com/st-web-ui/static/en/resource/technical/document/datasheet/DM00027543.pdf> (hämtad 2015-05-14).
- [22] *SRF08 Ultra sonic range finder Data Sheet*. Devantech. URL: <http://www.robot-electronics.co.uk/htm/srf08tech.shtml> (hämtad 2015-05-14).
- [23] *Features - V-REP*. URL: <http://www.coppeliarobotics.com/features.html> (hämtad 2015-05-14).
- [24] W. Woodall, M. Liebhardt, D. Stonier m. fl. “ROS Topics: Capabilities [ROS Topics]”. I: *Robotics Automation Magazine, IEEE* 21.4 (2014), s. 14–15.
- [25] Oscar Morales-Ponce, Elad M. Schiller och Paolo Falcone. “Cooperation with Disagreement Correction in the Presence of Communication Failures”. English. I: (2014).
- [26] A. Casimiro, O. Morales Ponce, T. Petig m. fl. “Vehicular Coordination via a Safety Kernel in the Gulliver Test-Bed”. I: (2014), s. 167–176. ISSN: 1545-0678. DOI: 10.1109/ICDCSW.2014.25.
- [27] *Manual V-REP*. URL: <http://www.coppeliarobotics.com/helpFiles/index.html> (hämtad 2015-05-14).

# Appendix A

## ackermann\_msgs

### AckermannDrive.msg

```
1 ## Driving command for a car-like vehicle using Ackermann steering.
2 # $Id$  
3  
4 # Assumes Ackermann front-wheel steering. The left and right front
5 # wheels are generally at different angles. To simplify, the commanded
6 # angle corresponds to the yaw of a virtual wheel located at the
7 # center of the front axle, like on a tricycle. Positive yaw is to
8 # the left. (This is *not* the angle of the steering wheel inside the
9 # passenger compartment.)  
10 #
11 # Zero steering angle velocity means change the steering angle as
12 # quickly as possible. Positive velocity indicates a desired absolute
13 # rate of change either left or right. The controller tries not to
14 # exceed this limit in either direction, but sometimes it might.  
15 #
16 float32 steering_angle          # desired virtual angle (radians)
17 float32 steering_angle_velocity # desired rate of change (radians/s)  
18
19 # Drive at requested speed, acceleration and jerk (the 1st, 2nd and
20 # 3rd derivatives of position). All are measured at the vehicle's
21 # center of rotation, typically the center of the rear axle. The
22 # controller tries not to exceed these limits in either direction, but
23 # sometimes it might.  
24 #
25 # Speed is the desired scalar magnitude of the velocity vector.
26 # Direction is forward unless the sign is negative, indicating reverse.  
27 #
28 # Zero acceleration means change speed as quickly as
29 # possible. Positive acceleration indicates a desired absolute
30 # magnitude; that includes deceleration.  
31 #
32 # Zero jerk means change acceleration as quickly as possible. Positive
33 # jerk indicates a desired absolute rate of acceleration change in
34 # either direction (increasing or decreasing).  
35 #
36 float32 speed                  # desired forward speed (m/s)
37 float32 acceleration           # desired acceleration (m/s^2)
38 float32 jerk                   # desired jerk (m/s^3)
```

## AckermannDriveStamped.msg

```
1 ## Time stamped drive command for robots with Ackermann steering.  
2 # $Id$  
3  
4 Header           header  
5 AckermannDrive  drive
```

# autopilot\_vrep

## ap\_utils.py

```
1 #!/usr/bin/env python
2 # Software License Agreement (BSD License)
3 #
4 # Copyright (c) 2014, Viktor Nilsson and Herman Fransson .
5 # All rights reserved.
6 #
7 # Redistribution and use in source and binary forms, with or without
8 # modification , are permitted provided that the following conditions
9 # are met:
10 #
11 # * Redistributions of source code must retain the above copyright
12 #   notice, this list of conditions and the following disclaimer.
13 # * Redistributions in binary form must reproduce the above
14 #   copyright notice, this list of conditions and the following
15 #   disclaimer in the documentation and/or other materials provided
16 #   with the distribution .
17 # * Neither the name of Willow Garage, Inc. nor the names of its
18 #   contributors may be used to endorse or promote products derived
19 #   from this software without specific prior written permission.
20 #
21 # THIS SOFTWARE IS PROVIDED BY THE COPYRIGHT HOLDERS AND CONTRIBUTORS
22 # "AS IS" AND ANY EXPRESS OR IMPLIED WARRANTIES, INCLUDING, BUT NOT
23 # LIMITED TO, THE IMPLIED WARRANTIES OF MERCHANTABILITY AND FITNESS
24 # FOR A PARTICULAR PURPOSE ARE DISCLAIMED. IN NO EVENT SHALL THE
25 # COPYRIGHT OWNER OR CONTRIBUTORS BE LIABLE FOR ANY DIRECT, INDIRECT,
26 # INCIDENTAL, SPECIAL, EXEMPLARY, OR CONSEQUENTIAL DAMAGES (INCLUDING,
27 # BUT NOT LIMITED TO, PROCUREMENT OF SUBSTITUTE GOODS OR SERVICES;
28 # LOSS OF USE, DATA, OR PROFITS; OR BUSINESS INTERRUPTION) HOWEVER
29 # CAUSED AND ON ANY THEORY OF LIABILITY, WHETHER IN CONTRACT, STRICT
30 # LIABILITY, OR TORT (INCLUDING NEGLIGENCE OR OTHERWISE) ARISING IN
31 # ANY WAY OUT OF THE USE OF THIS SOFTWARE, EVEN IF ADVISED OF THE
32 # POSSIBILITY OF SUCH DAMAGE.
33 #
34 # Revision $Id$
```

35

```
36 import math
37 import rospy # Only for logging/debugging
38 import config
39
40 prev_error = 0
41 i_term = 0
42
43 # Returns the difference between angle to next waypoint and heading of the
44 # car .
45 def get_angle_error(px,py,cx,cy,heading):
46     length = math.sqrt(pow((px-cx),2) + pow((py-cy),2))
47     cxx = length * math.cos(heading)
48     cyy = length * math.sin(heading)
49     pxx = px-cx
50     pyy = py-cy
51     angle = math.atan2(pyy, pxx) - math.atan2(cyy, cxx)
```

```

52 angle = angle % (2*math.pi)
53 if angle > math.pi:
54     angle -= 2*math.pi
55
56 #rospy.loginfo("heading: %f, (%f, %f) -> (%f, %f), angle error is %f" %
57 #                           (heading, cx, cy, px, py, angle))
58 return angle
59
60
61 # Given input, returns the distance between the circle arc (that the car is
62 # believed to travel) and the checkpoint p.
63 def is_on_track(waypoint,cx,cy,heading,steering_angle):
64     px,py = waypoint
65     R = config.L/(math.tan(steering_angle))
66     angle_to_origo = math.pi/2+heading
67     o_x = R*math.cos(math.pi-angle_to_origo)
68     o_y = R*math.sin(math.pi-angle_to_origo)
69     distance_o_to_p = math.sqrt(pow((px-o_x),2)+pow((py-o_y),2))
70
71     return distance_o_to_p-R
72
73
74 # Every time we get a new position,
75 # we adjust the steering angle
76 # input: wp = (x,y) of next waypoint
77 #           (cx,cy) = current position of car
78 #           heading = current heading of car (not steering angle)
79 # output: a new heading in degrees
80 def update_steering_angle(wp,cx,cy,heading,steering_angle):
81     global i_term, prev_error
82     px,py = wp
83     angle_error = get_angle_error(px,py,cx,cy,heading)
84
85     p_term = angle_error * config.K_p
86     i_term += (angle_error / config.POS_UPDATE_FREQ) * config.K_i
87     d_term = ((angle_error - prev_error) * config.POS_UPDATE_FREQ) * config.
88             K_d
89
90     steering_angle = p_term + i_term + d_term
91     prev_error = angle_error
92
93     return max(config.MIN_STEERING_ANGLE,
94               min(steering_angle, config.MAX_STEERING_ANGLE))
95
96
97 def is_point_behind(point,car_x,car_y,heading):
98     x,y = point
99     # This is the distance between the rear axis and the imaginary line which
100    # the
101    # given point is or is not behind. E.g., if equal to 0.3 [m], every point
102    # behind the front axis is said to be behind.
103    d = 0.1
104
105    # Get point of car front
106    (front_x,front_y) = get_new_point(car_x,car_y,d,heading)

```

```

105 # Calculate a point p1 that is to the left of front
106 (p1x,p1y) = get_new_point(front_x,front_y,10,heading+math.pi/2)
107 # Calculate a point p2 that is to the right of front
108 (p2x,p2y) = get_new_point(front_x,front_y,10,heading-math.pi/2)
109
110 # This catches some corner-cases due to rounding errors
111 if heading == math.pi:
112     return car_x-d < x
113 elif heading == 0:
114     return car_x+d > x
115
116 if (heading < math.pi):
117     return is_point_behind_line(x,y,p1x,p1y,p2x,p2y)
118 else:
119     return is_point_behind_line(x,y,p2x,p2y,p1x,p1y)
120
121
122 # Returns a new point from angle and length of vector
123 def get_new_point(x,y, length, heading):
124     new_x = x + length * math.cos(heading)
125     new_y = y + length * math.sin(heading)
126     return (new_x,new_y)
127
128
129 # Returns true if (x,y) is under the line that is between the points
130 # (px1,py1) and (px2,py2).
131 def is_point_behind_line(x,y,px1,py1,px2,py2):
132     v1 = (px2-px1, py2-py1)
133     v2 = (px2-x, py2-y)
134     xp = v1[0]*v2[1] - v1[1]*v2[0]
135
136     if xp > 0:
137         return True
138     elif xp < 0:
139         return False
140     else:
141         return False
142
143 def is_close_enough(wp,x,y,margin):
144     wp_x,wp_y = wp
145     if abs(wp_x-x) < margin and abs(wp_y-y) < margin:
146         return True
147     else:
148         return False

```

## config.py

```
1 from math import radians
2
3 L = 0.3
4 SPEED = 1.0
5
6 K_p = 1.2
7 K_i = 0.0
8 K_d = 0.000005
9
10 MIN_STEERING_ANGLE = radians(-22.0)
11 MAX_STEERING_ANGLE = radians(22.0)
12 POS_UPDATE_FREQ = 200
13 WP_MARGIN = 0.1
14
15 MIN_X = -6
16 MAX_X = 6
17 MIN_Y = -6
18 MAX_Y = 6
```

## path\_planning\_vrep.py

```
1 #!/usr/bin/env python
2
3 import rospy, roslib, rospkg
4 import ap_utils, config
5 import math, time
6 from std_msgs.msg import String
7 from ackermann_msgs.msg import AckermannDrive
8 from estimate_position.msg import Position
9 import pandas as pd
10
11 last_drive_msg = AckermannDrive()
12 current_steering_angle = 0
13 current_wp = 1
14 finished = False
15 rospack=rospkg.RosPack()
16
17
18 def scene_callback(data):
19     global wps
20     if data.data == 'cirkel':
21         # Path for Track_cirkel.
22         cirkel = pd.read_csv(rospack.get_path('autopilot_vrep') + '/csv/cirkel.csv', delimiter=',', header=None, usecols=[0, 1])
23         cirkel_x = cirkel[0].tolist()
24         cirkel_y = cirkel[1].tolist()
25         wps = [(cirkel_x[i], cirkel_y[i]) for i in range(len(cirkel_x))]
26     elif data.data == 'cirkel2':
27         # Path for Track_cirkel2.
28         cirkel2 = pd.read_csv(rospack.get_path('autopilot_vrep') + '/csv/cirkel21.csv', delimiter=',', header=None, usecols=[0, 1])
29         cirkel2_x = cirkel2[0].tolist()
```

```

30     cirkel2_y = cirkel2[1].tolist()
31     wps = [(cirkel2_x[i], cirkel2_y[i]) for i in range(len(cirkel2_x))]
32 elif data.data == 'eight':
33     # Path for Track_eight.
34     eight = pd.read_csv(rospack.get_path('autopilot_vrep') + '/csv/eight.csv',
35                           delimiter=',', header=None, usecols=[0, 1])
36     eight_x = eight[0].tolist()
37     eight_y = eight[1].tolist()
38     wps = [(eight_x[i], eight_y[i]) for i in range(len(eight_x))]
39 else:
40     print('No scene found.')
41
42 # This is run every time a new Position is received.
43 def callback_position(pos, pub):
44     global last_drive_msg, current_steering_angle, current_wp, finished
45
46     rospy.loginfo("\n[AUTOPILOT] Got a new position: x=%f, y=%f, heading=%f"
47                  % (pos.x, pos.y, pos.heading))
48     # rospy.loginfo("\n[AUTOPILOT] Path is: %s", wps)
49
50     pos.heading = pos.heading % (2 * math.pi)
51     drive = AckermannDrive()
52
53     # If we are close enough to current waypoint, aim for next.
54     if ap_utils.is_close_enough(wps[current_wp], pos.x, pos.y, config.WP_MARGIN):
55         if current_wp < len(wps) - 1:
56             rospy.loginfo("\n[AUTOPILOT] I reached waypoint %i!\n[AUTOPILOT]"
57                         "Heading for (%s)" % (current_wp, wps[current_wp + 1]))
58             current_wp += 1
59         elif current_wp == len(wps) - 1:
60             rospy.loginfo("\n[AUTOPILOT] I reached my destination!")
61             finished = True
62     # elif ap_utils.is_point_behind(wps[current_wp],
63     #                                 pos.x, pos.y, pos.heading) and not finished:
64     #     rospy.loginfo("I missed waypoint %i!" % (current_wp))
65     #     current_wp += 1
66
67     if not finished:
68         drive.speed = config.SPEED
69     else:
70         drive.speed = 0.00
71
72     # Set speed to 0 if you are outside your "comfort zone"
73     if not (config.MIN_X < pos.x < config.MAX_X and \
74             config.MIN_Y < pos.y < config.MAX_Y):
75         drive.speed = 0.0
76     rospy.loginfo("\n[AUTOPILOT] I'm not comfortable with this... (Area out"
77                   "of bounds.)\n[AUTOPILOT] My position is: (%s, %s)", pos.x, pos.y)
78
79     # Set steering angle based on current position and next waypoint
80     current_steering_angle = ap_utils.update_steering_angle(
81         wps[current_wp], pos.x, pos.y, pos.heading, current_steering_angle)

```

```

80     drive.steering_angle = math.degrees(current_steering_angle)
81 #   rospy.loginfo("\n[AUTOPILOT] Setting steering angle: heading=%s", math.
82 #                 degrees(current_steering_angle))
83
84     # Only publish messages if it differs from the last one
85     if drive != last_drive_msg:
86         last_drive_msg = drive
87         pub.publish(drive)
88
89     def autopilot():
90         # Sleep before starting. If parameter not set, default to 5 seconds.
91 #       rospy.Subscriber("/vrep/pathType", String, scene_callback)
92         time.sleep(int(rospy.get_param('Autopilot/wait_time', 1)))
93
94         rospy.init_node("autopilot", anonymous=True)
95         pub = rospy.Publisher('mc_cmds', AckermannDrive, queue_size=1)
96         rospy.Subscriber("Position", Position, callback_position, pub)
97         rospy.spin()
98
99     if __name__ == '__main__':
100        try:
101            autopilot()
102        except rospy.ROSInterruptException: pass

```

## bldc\_mc\_vrep MCValues.msg

```
1 Header header
2 int16 TEMP_MOS1
3 int16 TEMP_MOS2
4 int16 TEMP_MOS3
5 int16 TEMP_MOS4
6 int16 TEMP_MOS5
7 int16 TEMP_MOS6
8 int16 TEMP_PCB
9 int32 current_motor
10 int32 current_in
11 int16 duty_now
12 int32 rpm
13 int32 v_in
14 int32 amp_hours
15 int32 amp_hours_charged
16 int32 watt_hours
17 int32 watt_hours_charged
18 int32 tachometer
19 int32 tachometer_abs
20 float32 current_steering_angle
21 float32 current_speed
```

## mc\_vrep\_listalk.py

```
1 #!/usr/bin/env python
2
3 import rospy
4 from std_msgs.msg import String, Float32, Int32
5 from ackermann_msgs.msg import AckermannDrive
6 from get_uss.msg import srf08_msg
7 from bldc_mc.msg import MCValues
8 from struct import pack
9
10 MC = MCValues()
11 sensor_R = 0
12 sensor_L = 0
13
14 def ohshit(data):
15     global sensor_R
16     global sensor_L
17     sensor_R = data.sensor_0
18     sensor_L = data.sensor_1
19
20 def callback_mc(data, pub):
21     rospy.loginfo("\n[MC] Steering Angle=%s, Speed=%s", data.steering_angle,
22                  data.speed)
23     rospy.loginfo("\n[SRF08] Right sensor=%s, Left sensor=%s", sensor_R,
24                  sensor_L)
25     speed = data.speed
26     angle = data.steering_angle
```

```

25
26     emergency = False
27
28     if speed > 0 and emergency is False and sensor_R or sensor_L > 0.5:
29         rospy.loginfo("EMERGENCY!\n")
30         emergency = True
31         prev_speed = speed
32         speed = 0
33     elif emergency is True and sensor_R and sensor_L <= 0.5:
34         emergency = False
35         speed = prev_speed
36
37     floatlist = [speed, angle]
38     buf = pack('%sf' % len(floatlist), *floatlist)
39
40     pub.publish(buf)
41
42 def callback_tacos(data, pub):
43     MC.tachometer = data.data
44     pub.publish(MC)
45     rospy.loginfo("\n[MC] Tachometer=%s", data.data)
46
47 def callback_true_distance(data):
48     rospy.loginfo("\n[MC] True distance=%s", data.data)
49
50 def callback_steering_angle(data, pub):
51     MC.current_steering_angle=data.data
52     pub.publish(MC)
53     rospy.loginfo("\n[MC] Steering angle=%s", data.data)
54
55 def mc_vrep():
56     # Sleep before starting.
57     # time.sleep(5)
58
59     rospy.init_node("motor", anonymous=True)
60     pub = rospy.Publisher('/vrep/motor', String, queue_size=1)
61     rospy.Subscriber("mc_cmds", AckermannDrive, callback_mc, pub)
62     rospy.Subscriber("uss_data", srf08_msg, ohshit)
63     pub_mc = rospy.Publisher('mc_values', MCValues, queue_size=1)
64     rospy.Subscriber("/vrep/ticks", Int32, callback_tacos, pub_mc)
65     rospy.Subscriber("/vrep/distance_traveled", Float32,
66                      callback_true_distance)
67     rospy.Subscriber("/vrep/steering_angle", Float32, callback_steering_angle
68                      , pub_mc)
69     rospy.spin()
70
71 if __name__ == '__main__':
72     try:
73         mc_vrep()
74     except rospy.ROSInterruptException: pass

```

# estimate\_position\_vrep

## Range.msg

```
1 uint8 anchorId
2 uint32 rangeMm
3 uint16 rangeErrEst
4 uint32 timestamp
```

## Position.py

```
1 #!/usr/bin/env python
2
3 import rospy
4 #import numpy
5 import math
6 from estimate_position.msg import Position
7 from estimate_position_vrep.msg import Range
8 from std_msgs.msg import String
9 from struct import unpack
10
11 d1=rospy.get_param('d1', 6000)/1000
12 d2=rospy.get_param('d2', 6000)/1000
13 d3=rospy.get_param('d3', 6000)/1000
14
15 tol = 0.1
16 mpt = 1/450
17
18 pos = Position()
19
20 def anch1(data):
21     global d1
22     d1_temp=data.rangeMm+0.0
23     d1=d1_temp/1000
24     rospy.loginfo("\n[POS_RCM_1] I heard: %f", d1)
25
26 def anch2(data):
27     global d2
28     d2_temp=data.rangeMm+0.0
29     d2=d2_temp/1000
30     rospy.loginfo("\n[POS_RCM_2] I heard: %f", d2)
31
32 def anch3(data):
33     global d3
34     d3_temp=data.rangeMm+0.0
35     d3=d3_temp/1000
36     rospy.loginfo("\n[POS_RCM_3] I heard: %f", d3)
37
38 def possessed(pub):
39     global d1, d2, d3
40     # Position estimation
41     x1 = 1.0/22*(-math.sqrt(abs(-d2**4+2*d2**2*d3**2+242*d2**2-d3**4+242*d3**2-14641))-121)
42     x2 = 1.0/22*(math.sqrt(abs(-d2**4+2*d2**2*d3**2+242*d2**2-d3**4+242*d3**2-14641))-121)
```

```

43     y = 1.0/22*(d3**2-d2**2)
44
45     try :
46         if (math.sqrt ((x1-6)**2+(y)**2) > d1-tol and math.sqrt ((x1-6)**2+(y)**2)
47             < d1+tol) :
48             rospy . loginfo ("\n[POS_CALC_1] Calculated position is: x=%f , y=%f (mm)
49             \nd1=%s\nd2=%s\nd3=%s" , x1*1000, y*1000, d1 , d2 , d3)
50             pos . x = x1*1000
51             pos . y = y*1000
52             # pub . publish (pos)
53             else :
54                 rospy . loginfo ("\n[POS_CALC_2] Calculated position is: x=%f , y=%f (mm)
55                 \nd1=%s\nd2=%s\nd3=%s" , x2*1000, y*1000, d1 , d2 , d3)
56                 pos . x = x2*1000
57                 pos . y = y*1000
58             # pub . publish (pos)
59             rospy . Rate (100) . sleep ()
60         finally :
61             pass
62
63     def true_pos (data) :
64         global posx , posy
65         truepos=unpack ('fff' , data . data)
66         pos_err_x=(truepos [0]*1000)-pos . x
67         pos_err_y=(truepos [1]*1000)-pos . y
68         rospy . loginfo ("\n[POS_EST] Real position is: (x=%s , y=%s) (mm)" , truepos
69             [0] , truepos [1])
70         rospy . loginfo ("\n[POS_ERR] Position estimation error is: (x=%s , y=%s) (mm
71             )" , pos_err_x , pos_err_y)
72         # pos . x=truepos [0]*1000
73         # pos . y=truepos [1]*1000
74         # rospy . loginfo ("\n[POS_EST] Real position is: (x=%s , y=%s) (mm)" , truepos
75             [0] , truepos [1])
76         # pub . publish (pos)
77         rospy . Rate (100) . sleep ()
78
79     def pos_est_main () :
80         # time . sleep (5)
81
82         rospy . init_node ('est_pos' , anonymous=True)
83         rospy . Subscriber ("rcm1" , Range , anch1)
84         rospy . Subscriber ("rcm2" , Range , anch2)
85         rospy . Subscriber ("rcm3" , Range , anch3)
86         pub_pos = rospy . Publisher ('Position_rcm' , Position , queue_size=1)
87         # rospy . Subscriber ("vrep / position" , String , true_pos , pub_pos)
88         rospy . Subscriber ("vrep / position" , String , true_pos)
89         while not rospy . is_shutdown () :
90             possessed (pub_pos)
91             rospy . Rate (100) . sleep ()
92
93             rospy . spin ()
94
95     if __name__ == '__main__':
96         pos_est_main ()

```

---

## rcm.py

```
1 #!/usr/bin/env python
2
3 "This script listens to the streaming of distance to both cars on every
4   anchor in V-REP."
5
6 import rospy
7 from struct import unpack
8 from std_msgs.msg import String
9 from estimate_position.msg import Position
10 from estimate_position_vrep.msg import Range
11
12 msg = Range()
13
14 def callback1(data, pub):
15     rcm=unpack('ffffffff', data.data)
16     rospy.loginfo("\n[RCM_POS_1] Anchor 1 position is: x=%f, y=%f", rcm[0],
17                   rcm[1])
18     msg.anchorId=1
19     msg.rangeMm = int(round(rcm[6]*1000))
20     rospy.loginfo("\n[RCM_DIST_1] Distance from anchor 1 to car is %f", msg.
21                   rangeMm)
22     pub.publish(msg)
23     rospy.Rate(100).sleep()
24
25 def callback2(data, pub):
26     rcm=unpack('ffffffff', data.data)
27     rospy.loginfo("\n[RCM_POS_2] Anchor 2 position is: x=%f, y=%f", rcm[0],
28                   rcm[1])
29     msg.anchorId=2
30     msg.rangeMm = int(round(rcm[6]*1000))
31     rospy.loginfo("\n[RCM_DIST_2] Distance from anchor 2 to car is %f", msg.
32                   rangeMm)
33     pub.publish(msg)
34     rospy.Rate(100).sleep()
35
36 def callback3(data, pub):
37     rcm=unpack('ffffffff', data.data)
38     rospy.loginfo("\n[RCM_POS_3] Anchor 3 position is: x=%f, y=%f", rcm[0],
39                   rcm[1])
40     msg.anchorId=3
41     msg.rangeMm = int(round(rcm[6]*1000))
42     rospy.loginfo("\n[RCM_DIST_3] Distance from anchor 3 to car is %f", msg.
43                   rangeMm)
44     pub.publish(msg)
45     rospy.Rate(100).sleep()
46
47 def rcm_vrep():
48     rospy.init_node('rcm_data', anonymous=True)
49
50     pub1 = rospy.Publisher('rcm1', Range, queue_size=1)
```

```
44 pub2 = rospy.Publisher('rcm2', Range, queue_size=1)
45 pub3 = rospy.Publisher('rcm3', Range, queue_size=1)
46
47 rospy.Subscriber("/vrep/ank1_distance", String, callback1, pub1)
48 rospy.Subscriber("/vrep/ank2_distance", String, callback2, pub2)
49 rospy.Subscriber("/vrep/ank3_distance", String, callback3, pub3)
50
51 rospy.spin()
52
53 if __name__ == '__main__':
54     rcm_vrep()
```

## get\_imu\_vrep

### IMUData.msg

```
1 Header header
2 float64 gyroX
3 float64 gyroY
4 float64 gyroZ
5 float64 accX
6 float64 accY
7 float64 accZ
8 float64 magX
9 float64 magY
10 float64 magZ
```

## get\_imu\_vrep.py

```
1 #!/usr/bin/env python
2
3 import rospy
4 from struct import unpack
5 from std_msgs.msg import String
6 from get_imu.msg import IMUData
7 from math import pi
8
9 imu = IMUData()
10
11 def imu_parser(data, pub):
12     floats = unpack('fff', data.data)
13     rospy.loginfo(rospy.get_name() + "\n[IMU] accX=%s, accY=%s, gyroZ=%s",
14                   floats[0], floats[1], floats[2])
15
16     imu.header.stamp.secs = rospy.get_rostime().secs
17     imu.header.stamp.nsecs = rospy.get_rostime().nsecs
18     imu.accX = floats[0]
19     imu.accY = floats[1]
20     imu.gyroZ = floats[2]*180/pi
21     pub.publish(imu)
22     rospy.Rate(100).sleep()
23
24 def imu_vrep():
25     rospy.init_node("imu_node", anonymous=True)
26     pub = rospy.Publisher('imu_data', IMUData, queue_size=1)
27     rospy.Subscriber('/vrep/gyroAcc', String, imu_parser, pub)
28     rospy.spin()
29
30 if __name__ == '__main__':
31     imu_vrep()
```

## get\_uss\_vrep srf08\_msg.msg

```
1 float32 sensor_0
2 float32 sensor_1
```

## get\_uss\_vrep.py

```
1 #!/usr/bin/env python
2
3 import rospy
4 from std_msgs.msg import *
5 from get_uss.msg import srf08_msg
6
7 # Listen from Topic SRF08_R.
8 def callbackR(data, pub):
9     rospy.loginfo(rospy.get_caller_id() + "\n[SRF08_R] Distance=%s (m)", data
10                 .data)
11     srf08_R = data.data
12     msg = srf08_msg()
13     msg.sensor_0 = srf08_R
14     # msg.header.stamp = rospy.get_rostime()
15     pub.publish(msg)
16
17 # Listen from Topic SRF08_L.
18 def callbackL(data, pub):
19     rospy.loginfo(rospy.get_caller_id() + "\n[SRF08_L] Distance=%s (m)", data
20                 .data)
21     srf08_L = data.data
22     msg = srf08_msg()
23     msg.sensor_1 = srf08_L
24     # msg.header.stamp = rospy.get_rostime()
25     pub.publish(msg)
26
27 def init():
28     pub = rospy.Publisher('uss_data', srf08_msg, queue_size=1)
29     rospy.init_node('get_uss_vrep', anonymous=True)
30     rospy.Subscriber("/vrep/SRF08_R", Float32, callbackR, pub)
31     rospy.Subscriber("/vrep/SRF08_L", Float32, callbackL, pub)
32     rospy.spin()
33
34 if __name__ == '__main__':
35     init()
```

# joy\_to\_mc\_cmds

## joy\_to\_cmds.py

```
1 #!/usr/bin/env python
2 # Software License Agreement (BSD License)
3 #
4 # Copyright (c) 2014, Viktor Nilsson.
5 # All rights reserved.
6 #
7 # Redistribution and use in source and binary forms, with or without
8 # modification, are permitted provided that the following conditions
9 # are met:
10 #
11 # * Redistributions of source code must retain the above copyright
12 #   notice, this list of conditions and the following disclaimer.
13 # * Redistributions in binary form must reproduce the above
14 #   copyright notice, this list of conditions and the following
15 #   disclaimer in the documentation and/or other materials provided
16 #   with the distribution.
17 # * Neither the name of Willow Garage, Inc. nor the names of its
18 #   contributors may be used to endorse or promote products derived
19 #   from this software without specific prior written permission.
20 #
21 # THIS SOFTWARE IS PROVIDED BY THE COPYRIGHT HOLDERS AND CONTRIBUTORS
22 # "AS IS" AND ANY EXPRESS OR IMPLIED WARRANTIES, INCLUDING, BUT NOT
23 # LIMITED TO, THE IMPLIED WARRANTIES OF MERCHANTABILITY AND FITNESS
24 # FOR A PARTICULAR PURPOSE ARE DISCLAIMED. IN NO EVENT SHALL THE
25 # COPYRIGHT OWNER OR CONTRIBUTORS BE LIABLE FOR ANY DIRECT, INDIRECT,
26 # INCIDENTAL, SPECIAL, EXEMPLARY, OR CONSEQUENTIAL DAMAGES (INCLUDING,
27 # BUT NOT LIMITED TO, PROCUREMENT OF SUBSTITUTE GOODS OR SERVICES;
28 # LOSS OF USE, DATA, OR PROFITS; OR BUSINESS INTERRUPTION) HOWEVER
29 # CAUSED AND ON ANY THEORY OF LIABILITY, WHETHER IN CONTRACT, STRICT
30 # LIABILITY, OR TORT (INCLUDING NEGLIGENCE OR OTHERWISE) ARISING IN
31 # ANY WAY OUT OF THE USE OF THIS SOFTWARE, EVEN IF ADVISED OF THE
32 # POSSIBILITY OF SUCH DAMAGE.
33 #
34 # Revision $Id$
35
36 import rospy
37 from std_msgs.msg import String
38 from sensor_msgs.msg import Joy
39 from ackermann_msgs.msg import AckermannDrive
40
41 ## axes[4] right trigger
42 ## axes[0] left stick left/right
43 ## buttons[1] A
44 def callback(data, pub):
45     rospy.loginfo(rospy.get_name() + "I heard this: \n buttons[1]==%f, axes
46 [0]==%f, axes[4]==%f", data.buttons[1], data.axes[0], data.axes[5]);
47
48     if data.buttons[0] == 0: direction = 1
49     else: direction = -1
50     degree = data.axes[0]*22
51     speed = (1+speedToSpeed(data.axes[5]))/2*direction
```

```

52    rospy.loginfo("Setting degree to %f\n", degree)
53    rospy.loginfo("Setting speed to %f\n", speed)
54
55    # Create AckermannDrive msg
56    drive = AckermannDrive()
57    drive.steering_angle = degree
58    drive.speed = speed
59
60    # Publish under topic 'mc_cmds'
61    pub.publish(drive)
62
63
64 def init():
65     # Publish under topic 'mc_cmds'
66     pub = rospy.Publisher('mc_cmds', AckermannDrive, queue_size=1)
67
68     # Subscribes to 'joy'
69     rospy.Subscriber("joy", Joy, callback, pub)
70
71
72 # Converts a keypress (between 1.0 and -1.0) to between 0.0 and 1.0.
73 # If speed is exactly 50% (speed == 0.0), discard the value because
74 # that is probably a fault in joy.
75 def speedToSpeed(speed):
76     # Sometimes joy_node says that axis[4] is 0 (even though it should be 1.0
77     # when not pressed)
78     if speed == 0: return 0
79
80     # For convenience, we want a value between 0.0 and 1.0
81     speed = -((speed-1)/2)
82     if speed < 0.25:
83         return 0
84     return speed
85
86
87 # Converts from joystick angle to steering angle.
88 # joy_node outputs angle in -1.0 (full left) to 1.0 (full right)
89 # The angle are "not really" in degrees.
90 # +-70 (assuming middle is 114) is the last value that don't give that
91 # weird
92 # noice.
93 #def joyAngleToDegree(angle):
94 #    degree = 70*angle
95 #    return degree
96
97 if __name__ == '__main__':
98     rospy.init_node('joy_listener_talker', anonymous=False)
99     init()
100    rospy.spin()

```

# Appendix B

## gulliver\_car\_script

```
1 if (sim_call_type==sim_childscriptcall_initialization) then
2
3     local pathType='cirkel' -- Alternativ: cirkel , cirkel2 , eight
4     local moduleName=0
5     local moduleVersion=0
6     local index=0
7     local pluginNotFound=true
8     while moduleName do
9         moduleName, moduleVersion=simGetModuleName(index)
10        if (moduleName=='Ros') then
11            pluginNotFound=false
12        end
13        index=index+1
14    end
15
16    if (pluginNotFound) then
17        controllerID=-1
18        -- Display an error message if the plugin was not found:
19        simDisplayDialog( 'Error' , 'ROS plugin was not found.&&nSimulation will
20        not run properly' ,sim_dlgstyle_ok ,false ,nil
21        ,{0.8,0,0,0,0,0},{0.5,0,0,1,1,1})
22    else
23        -- Motor controller input.
24        controllerID=simExtROS_enableSubscriber( 'motor' ,1 ,
25        simros_strmcmd_set_string_signal , -1, -1,'mcValuesSignal' )
26        -- Determines which static map to use.
27        simSetStringSignal( 'pathTypeSignal' , pathType)
28        pathTypeID=simExtROS_enablePublisher( 'pathType' ,1 ,
29        simros_strmcmd_get_string_signal , -1, -1,'pathTypeSignal' ,10)
30        -- Exports IMU data to ROS.
31        simSetStringSignal( 'gyroAccSignal' , simPackFloats({0,0,0}))
32        gyroAccID=simExtROS_enablePublisher( 'gyroAcc' , 1,
33        simros_strmcmd_get_string_signal , -1, -1,'gyroAccSignal' )
34        -- The cars true position in V-REP.
35        simSetStringSignal( 'positionSignal' , simPackFloats({0,0,0}))
36        positionID=simExtROS_enablePublisher( 'position' , 1,
37        simros_strmcmd_get_string_signal , -1, -1,'positionSignal' )
38        -- Published distance traveled and tachometer ticks.
39        distavID=simExtROS_enablePublisher( 'distance_traveled' ,1 ,
40        simros_strmcmd_get_float_signal,-1,-1,'distance_traveled' )
41        ticksID=simExtROS_enablePublisher( 'ticks' ,1 ,
42        simros_strmcmd_get_integer_signal,-1,-1,'tacho_ticks' )
43        angleID=simExtROS_enablePublisher( 'steering_angle' ,1 ,
44        simros_strmcmd_get_float_signal,-1,-1,'steering_angle_signal' )
45        simAddStatusbarMessage("Distance traveled ID: "..distavID)
46        simAddStatusbarMessage("Tachometer ID: "..ticksID)
47        simAddStatusbarMessage("Steering angle ID: "..angleID)
48        -- Publishes anchor distances to ROS.
49        simSetStringSignal( 'rcm_signal1' , simPackFloats({0,0,0,0,0,0,0}))
50        simSetStringSignal( 'rcm_signal2' , simPackFloats({0,0,0,0,0,0,0}))
51        simSetStringSignal( 'rcm_signal3' , simPackFloats({0,0,0,0,0,0,0}))
```

```

43 rcm1=simExtROS_enablePublisher( 'ank1_distance' ,1 ,
44 simros_strmcmd_get_string_signal ,-1,-1,'rcm_signal1' )
45 rcm2=simExtROS_enablePublisher( 'ank2_distance' ,1 ,
46 simros_strmcmd_get_string_signal ,-1,-1,'rcm_signal2' )
47 rcm3=simExtROS_enablePublisher( 'ank3_distance' ,1 ,
48 simros_strmcmd_get_string_signal ,-1,-1,'rcm_signal3' )
49 end
50
51 gyroCommunicationTube=simTubeOpen(0 , 'gyroData' .. simGetNameSuffix( nil ) ,1)
52 accelCommunicationTube=simTubeOpen(0 , 'accelerometerData' ..
53 simGetNameSuffix( nil ) ,1)
54
55 car=simGetObjectHandle( 'Gulliver_model' )
56 steeringLeft=simGetObjectHandle( 'steering_frontLeft' )
57 steeringRight=simGetObjectHandle( 'steering_frontRight' )
58 motorLeft=simGetObjectHandle( 'motor_frontLeft' )
59 motorRight=simGetObjectHandle( 'motor_frontRight' )
60 sensorRight=simGetObjectHandle( 'SRF08_R' )
61 sensorLeft=simGetObjectHandle( 'SRF08_L' )
62 anchor1=simGetObjectHandle( 'Ankare' )
63 anchor2=simGetObjectHandle( 'Ankare0' )
64 anchor3=simGetObjectHandle( 'Ankare1' )
65 rcm=simGetObjectHandle( 'Accelerometer_mass' )
66 desiredSteeringAngle=0
67 desiredWheelRotSpeed=0
68 steeringAngleDx=2*math.pi/180
69 wheelRotSpeedDx=20*math.pi/180
70 d=0.13575 — 2*d=distance between left and right wheels
71 l=0.33 — l=distance between front and rear wheels
72 distrav=0 — distance traveled
73 lastpos=simGetObjectPosition( car ,-1)
74
75 — DATA LOGS
76 distance=io .open("logs /distance .log" , "w+")
77 distance : write("index \t\ distance (m) \ttacho_ticks \n")
78 imu=io .open("logs /imu .log" , "w+")
79 imu: write("index \taccX \taccY \tgyroZ \n")
80 rcm1=io .open("logs /rcm1 .log" , "w+")
81 rcm1: write("index \tx_anchor \ty_anchor \tz_anchor \tx_car \ty_car \tz_car \
82 tdistance (m) \n")
83 rcm2=io .open("logs /rcm2 .log" , "w+")
84 rcm2: write("index \tx_anchor \ty_anchor \tz_anchor \tx_car \ty_car \tz_car \
85 tdistance (m) \n")
86 rcm3=io .open("logs /rcm3 .log" , "w+")
87 rcm3: write("index \tx_anchor \ty_anchor \tz_anchor \tx_car \ty_car \tz_car \
88 tdistance (m) \n")
89 poslog=io .open("logs /position .log" , "w+")
90 poslog : write("index \tx \ty \n")

```

```

91 if (sim_call_type==sim_childscriptcall_actuation) then
92
93 — RCM Measurements
94 res , distance1=simCheckDistance ( anchor1 , rcm , 0 )
95 res , distance2=simCheckDistance ( anchor2 , rcm , 0 )
96 res , distance3=simCheckDistance ( anchor3 , rcm , 0 )
97 rcm_sig1=simSetStringSignal ( 'rcm_signal1' , simPackFloats ( distance1 ) )
98 rcm_sig2=simSetStringSignal ( 'rcm_signal2' , simPackFloats ( distance2 ) )
99 rcm_sig3=simSetStringSignal ( 'rcm_signal3' , simPackFloats ( distance3 ) )
100 rcm1: write ( logindex )
101 rcm1: write ( "\t" .. distance1 [ 1 ] .. "\t" .. distance1 [ 2 ] .. "\t" .. distance1 [ 3 ] .. "\t"
102   .. distance1 [ 4 ] .. "\t" .. distance1 [ 5 ] .. "\t" .. distance1 [ 6 ] .. "\t" ..
103   distance1 [ 7 ] )
104 rcm1: write ( '\n' )
105 rcm2: write ( logindex )
106 rcm2: write ( "\t" .. distance2 [ 1 ] .. "\t" .. distance2 [ 2 ] .. "\t" .. distance2 [ 3 ] .. "\t"
107   .. distance2 [ 4 ] .. "\t" .. distance2 [ 5 ] .. "\t" .. distance2 [ 6 ] .. "\t" ..
108   distance2 [ 7 ] )
109 rcm2: write ( '\n' )
110 rcm3: write ( logindex )
111 rcm3: write ( "\t" .. distance3 [ 1 ] .. "\t" .. distance3 [ 2 ] .. "\t" .. distance3 [ 3 ] .. "\t"
112   .. distance3 [ 4 ] .. "\t" .. distance3 [ 5 ] .. "\t" .. distance3 [ 6 ] .. "\t" ..
113   distance3 [ 7 ] )
114 rcm3: write ( '\n' )
115
116 — Distance traveled+tachometer
117 currpos=simGetObjectPosition ( car , -1 )
118 dt=math . sqrt ( math . pow ( currpos [ 1 ] - lastpos [ 1 ] , 2 ) + math . pow ( currpos [ 2 ] -
119   lastpos [ 2 ] , 2 ) )
120 distrav=distrav+dt
121 lastpos=currpos
122 distsig=simSetFloatSignal ( 'distance_traveled' , distrav )
123 ticks=math . ceil ( distrav * 450 )
124 ticksig=simSetIntegerSignal ( 'tacho_ticks' , ticks )
125 steersig=simSetFloatSignal ( 'steering_angle_signal' , desiredSteeringAngle )
126 distance : write ( logindex )
127 distance : write ( "\t" .. distrav .. "\t" .. ticks )
128 distance : write ( '\n' )
129
130 — Gyro and Acc values
131 data=simTubeRead ( gyroCommunicationTube )
132 if ( data ) then
133   angularVariations=simUnpackFloats ( data )
134 end
135 data=simTubeRead ( accelCommunicationTube )
136 if ( data ) then
137   acceleration=simUnpackFloats ( data )
138 end
139 if ( angularVariations and acceleration ) then
140   gyroAccFloats={acceleration [ 1 ] , acceleration [ 2 ] , angularVariations [ 3 ] }
141   imu: write ( logindex -1 )
142   imu: write ( "\t" .. acceleration [ 1 ] .. "\t" .. acceleration [ 2 ] .. "\t" ..
143   angularVariations [ 3 ] )
144   imu: write ( '\n' )
145   gyroAcc=simPackFloats ( gyroAccFloats )

```

```

138     simSetStringSignal( 'gyroAccSignal' , gyroAcc )
139 end
140
141 — Absolute position
142 position=simGetObjectPosition (rcm, -1)
143 poslog : write (logindex)
144 poslog : write ( "\t " .. position [1] .. "\t " .. position [2])
145 poslog : write ( "\n" )
146 positionString=simPackFloats (position)
147 simSetStringSignal( 'positionSignal' , positionString )
148
149 — EXTERNAL CONTROL OF THE CAR.
150 if ( controllerID ~= -1) then
151     mcValues=simGetStringSignal( 'mcValuesSignal' )
152     if ( mcValues ) then
153         mcValuesFloats=simUnpackFloats (mcValues)
154         —simDisplayDialog( 'Floats' , mcValuesFloats [1] , sim_dlgstyle_ok ,NULL,
155         NULL,NULL,NULL)
156         end
157         if ( mcValuesFloats [1]>0) then
158             — GO FORWARD
159             desiredWheelRotSpeed=desiredWheelRotSpeed+wheelRotSpeedDx *
160             mcValuesFloats [1]
161             if ( desiredWheelRotSpeed >=5) then
162                 desiredWheelRotSpeed=5
163                 end
164             end
165             if ( mcValuesFloats [1]==0 and desiredWheelRotSpeed >0) then
166                 desiredWheelRotSpeed=desiredWheelRotSpeed-wheelRotSpeedDx /2
167                 if ( desiredWheelRotSpeed <wheelRotSpeedDx /2) then
168                     desiredWheelRotSpeed=0
169                     end
170                 end
171                 if ( mcValuesFloats [1]<0) then
172                     — GO BACK
173                     desiredWheelRotSpeed=desiredWheelRotSpeed+wheelRotSpeedDx *
174                     mcValuesFloats [1]
175                     if ( desiredWheelRotSpeed <=-1) then
176                         desiredWheelRotSpeed=-1
177                         end
178                     end
179                     if ( mcValuesFloats [1]==0 and desiredWheelRotSpeed <0) then
180                         desiredWheelRotSpeed=desiredWheelRotSpeed+wheelRotSpeedDx /2
181                         if ( -desiredWheelRotSpeed <-wheelRotSpeedDx /2) then
182                             desiredWheelRotSpeed=0
183                             end
184                         end
185                         if ( mcValuesFloats [2]>0) then
186                             — TURN LEFT
187                             desiredSteeringAngle=desiredSteeringAngle+steeringAngleDx *
188                             mcValuesFloats [2]/22
189                             if ( desiredSteeringAngle >22*math . pi /180 *mcValuesFloats [2]/22) then
190                                 desiredSteeringAngle=22*math . pi /180 *mcValuesFloats [2]/22

```

```

189     end
190   end
191   if ( mcValuesFloats[2]==0 and desiredSteeringAngle >0) then
192     desiredSteeringAngle=desiredSteeringAngle-steeringAngleDx
193     -- if ( desiredSteeringAngle<steeringAngleDx/2) then
194     --   steeringAngleDx=0
195     -- end
196   end
197
198   if ( mcValuesFloats[2]<0) then
199     -- TURN RIGHT
200     desiredSteeringAngle=desiredSteeringAngle+steeringAngleDx *
mcValuesFloats[2]/22
201     if ( desiredSteeringAngle <+22*math.pi/180*mcValuesFloats[2]/22) then
202       desiredSteeringAngle=+22*math.pi/180*mcValuesFloats[2]/22
203     end
204   end
205   if ( mcValuesFloats[2]==0 and desiredSteeringAngle <0) then
206     desiredSteeringAngle=desiredSteeringAngle+steeringAngleDx
207     -- if ( -desiredSteeringAngle<-steeringAngleDx/2) then
208     --   steeringAngleDx=0
209     -- end
210   end
211
212   simClearStringSignal( 'mcValuesTemp' )
213 else
214
215   message , auxiliaryData=simGetSimulatorMessage()
216   while message~= -1 do
217     if ( message==sim_message_keypress) then
218       if ( auxiliaryData[1]==2007) then
219         -- up key
220         desiredWheelRotSpeed=desiredWheelRotSpeed+wheelRotSpeedDx
221       end
222       if ( auxiliaryData[1]==2008) then
223         -- down key
224         desiredWheelRotSpeed=desiredWheelRotSpeed-wheelRotSpeedDx
225       end
226       if ( auxiliaryData[1]==2009) then
227         -- left key
228         desiredSteeringAngle=desiredSteeringAngle+steeringAngleDx
229         if ( desiredSteeringAngle>22*math.pi/180) then
230           desiredSteeringAngle=22*math.pi/180
231         end
232       end
233       if ( auxiliaryData[1]==2010) then
234         -- right key
235         desiredSteeringAngle=desiredSteeringAngle-steeringAngleDx
236         if ( desiredSteeringAngle<-22*math.pi/180) then
237           desiredSteeringAngle=-22*math.pi/180
238         end
239       end
240     end
241     message , auxiliaryData=simGetSimulatorMessage()
242 end

```

```

243 end
244
245 — We handle the front left and right wheel steerings (Ackermann steering
246   ):
247 steeringAngleLeft=math.atan(1/(-d+1/math.tan(desiredSteeringAngle)))
248 steeringAngleRight=math.atan(1/(d+1/math.tan(desiredSteeringAngle)))
249 simSetJointTargetPosition(steeringLeft ,steeringAngleLeft)
249 simSetJointTargetPosition(steeringRight ,steeringAngleRight)
250
251 — We take care of setting the desired wheel rotation speed:
252 simSetJointTargetVelocity(motorLeft ,desiredWheelRotSpeed)
253 simSetJointTargetVelocity(motorRight ,desiredWheelRotSpeed)
254
255 motor:write(logindex)
256 motor:write("\t" .. desiredWheelRotSpeed .. "\t" .. desiredSteeringAngle)
257 motor:write("\n")
258
259 logindex=logindex+1
260
261 end
262
263 if (sim_call_type==sim_childscriptcall_sensing) then
264
265 end
266
267
268
269 if (sim_call_type==sim_childscriptcall_cleanup) then
270
271 io.close(imu)
272 io.close(distance)
273 io.close(poslog)
274 io.close(motor)
275 io.close(rcm1)
276 io.close(rcm2)
277 io.close(rcm3)
278
279 end

```

## srf08\_script

```
1 if (sim_call_type==sim_childscriptcall_initialization) then
2
3     noseSensor=simGetObjectHandle('SRF08_L')
4     simSetFloatSignal('distanceSignal_L', 0)
5
6     local moduleName=0
7     local moduleVersion=0
8     local index=0
9     local pluginNotFound=true
10    while moduleName do
11        moduleName, moduleVersion=simGetModuleName(index)
12        if (moduleName=='Ros') then
13            pluginNotFound=false
14        end
15        index=index+1
16    end
17
18    if (pluginNotFound==false) then
19        sensorID=simExtROS_enablePublisher('SRF08_L',1,
20        simros_strmcmd_get_float_signal,-1,-1,'distanceSignal_L')
21    end
22
23    -- DATA LOG
24    uss_L=io.open("logs/uss_L.log","w")
25    uss_L=io.open("logs/uss_L.log","a")
26    uss_L:write("index\tdistance (m)\n")
27    logindex=1
28
29 end
30
31 if (sim_call_type==sim_childscriptcall_actuation) then
32
33 end
34
35 if (sim_call_type==sim_childscriptcall_sensing) then
36     result , distance=simReadProximitySensor(noseSensor)
37     if(result==1) then
38         simSetFloatSignal('distanceSignal_L', distance)
39     else
40         distance=0
41         simSetFloatSignal('distanceSignal_L', 0)
42     end
43     uss_L:write(tostring(logindex))
44     uss_L:write("\t")
45     uss_L:write(tostring(distance))
46     uss_L:write("\n")
47     logindex=logindex+1
48
49 end
50
51 if (sim_call_type==sim_childscriptcall_cleanup) then
52     io.close(uss_L)
```

53 | end